

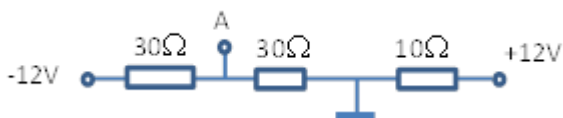
# 《电路信号与系统》练习题（2025）

## 电路部分

- 1、理想电压源内阻 无穷小（无穷大、无穷小）；理想电流源内阻 无穷大（无穷大、无穷小）。
- 2、理想电压源可以 串联（串联、并联）；理想电流源可以 并联（串联、并联）。
- 3、叠加定理适用于线性电路，可以用来求线性电路的 电压、电流（电压、功率、电流）。
- 4、一个实际的电阻器能否抽象成集总电阻模型要考虑的因素有 电阻的大小、工作频率（电阻的大小、形状、工作频率、工作电压、消耗功率）。
- 5、假设的正电荷运动方向称为电流的 参考（实际、参考）方向。
- 6、理想电压源内阻 无穷小（无穷大、无穷小）。

- 7、A 点的电位为 -6V；

-12V 电压源的输出功率为 2.4W



- 8、如图, N1 和 N2 为两个独立的电路网络。N1 和 N2 之间导线上的电流  $I = \underline{0}$ 。

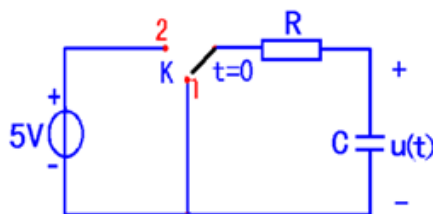


- 9、如图电路：  $R = 1\text{K}\Omega$ 、 $C = 10\mu\text{F}$ 。  $t < 0$ ，K 位于“2”，电路稳定；  $t \Rightarrow 0$  时 K 位于“1”。求电容上的电压  $u(t)$ 。

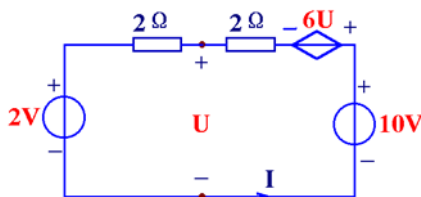
解：  $t < 0$  时，  $U_C(0_-) = U_C(0_+) = 5\text{V}$

$t > 0$  时，  $U_C(\infty) = 0\text{V}$ ；  $\tau = RC = 0.01\text{s}$

$\therefore U(t) = U_C(\infty) + [U_C(0_+) - U_C(\infty)]e^{-t/\tau} = 5e^{-100t}\text{V}$



- 10、如图，求电流  $I$ 。说明两个独立电压源输出功率的情况。



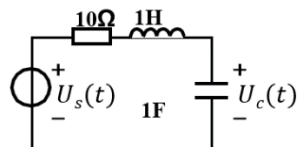
解：

$$\begin{cases} U = 2I + 2 \\ 6U + 4I + 2 = 10 \end{cases} \Rightarrow \begin{cases} I = -0.25A \\ U = 1.5V \end{cases}$$

对 2V 的电压源：（关联） $P_1 = 2I = -0.5W$ （输出）

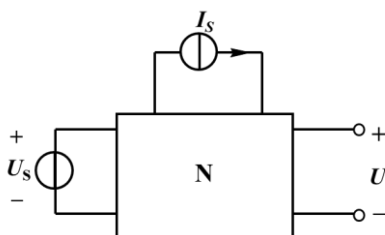
对 10V 的电压源：（非关联） $P_2 = -10I = 2.5W$ （吸收）

11、 如图所示电路，，请列出以电压源 $u_s(t)$ 为激励， $u_c(t)$ 为输出的微分方程。



解：  $u_c''(t) + 10u_c'(t) + u_c(t) = u_s(t)$

12、 如图所示电路，图中 N 为不含独立源的线性电阻电路，当  $U_S = 1V$ ， $I_S = 1A$  时，开路电压  $U = 2V$ ；当  $U_S = 5V$ ， $I_S = 1A$  时，开路电压  $U = 6V$ 。当  $U_S = 1V$ ， $I_S = 10A$  时，开路电压  $U$  为多少？

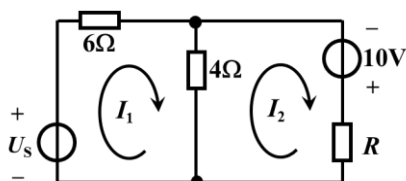


$$u = aI_S + bU_S$$

$$\text{解：} \begin{cases} a + b = 2 \\ a + 5b = 6 \end{cases} \Rightarrow \begin{cases} a = 1\Omega \\ b = 1 \end{cases}$$

$$u = I_S + U_S = 1 + 10 = 11(V)$$

13、 如图已知网孔电流  $I_1 = 4A$ 、 $I_2 = 2A$ ，求  $U_S$  和  $R$ 。

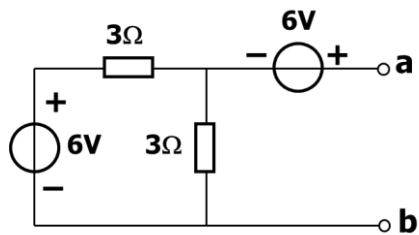


$$U_S = 4(I_1 - I_2) + 6I_1 = 32(V)$$

$$R = \frac{10 + 4(I_1 - I_2)}{I_2} = 9\Omega$$

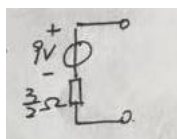
14、 如图所示电路，

- (1) 求电路 ab 端的戴维南等效电路或诺顿等效电路；
- (2) 若在电路 ab 端接入电阻  $R$ ，求电阻  $R$  为多少时可获最大功率？最大功率为多少？

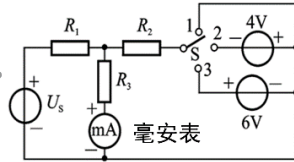


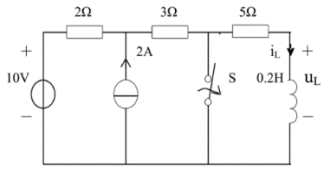
解：开路电压  $U_{oc} = 6 + 3 \times \frac{6}{3+3} = 9V$ ，除源内阻  $R_0 = \frac{3}{2}\Omega$

等效电路为 9V 电压源串联 1.5 欧姆电阻，或 6A 电流源并联 1.5 欧姆电阻。

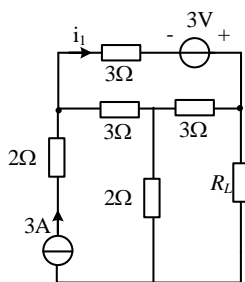


$R=1.5$  欧姆时，取得最大功率， $P_{\max} = \frac{27}{2} W$

- 15、如图所示电路，，当开关位置在“1”时，毫安表读数为 20mA，当开关位置在“2”时，毫安表读数为-80mA，当开关位置在“3”时，毫安表的读数为 170mA

- 16、如图所示电路中，开关 S 在  $t=0$  时刻断开，则电感两端电流  $i_L(t)$  为  $1.4(1 - e^{-50t})A$

- 17、如图示电路，负载电阻  $R_L$  可调，求（1）求  $ab$  端口的开路电压  $u_{oc}$  及等效（除源）内阻；（2）画出  $ab$  端口的戴维南等效电路和诺顿等效电路；（3）给出  $R_L$  取得最大功率的条件，并计算  $R_L$  取得的最大功率。



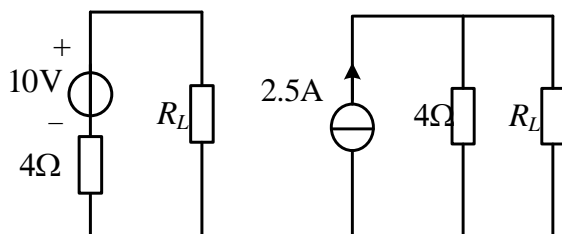
$$3i_1 - 3 + 3i_1 - 3(3 - i_1) = 0$$

$$(1) \quad i_1 = \frac{4}{3} A$$

$$u_{oc} = 4 + 2 \times 3 = 10V$$

$$R_{ab} = 3 // (3 + 3) + 2 = 4\Omega$$

(2)



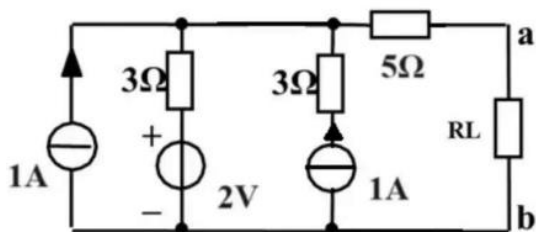
$$(3) \text{ 当 } R_L = R_0, \quad P = \frac{U_{oc}^2}{4R_0} = \frac{10^2}{4 \times 4} = 6.25W$$

18、如图所示电路， $R_L$  为负载。

(1) 求负载  $R_L$  两端的开路电压和等效电阻；

(2) 画出负载  $R_L$  以外电路的戴维南或诺顿等效电路；

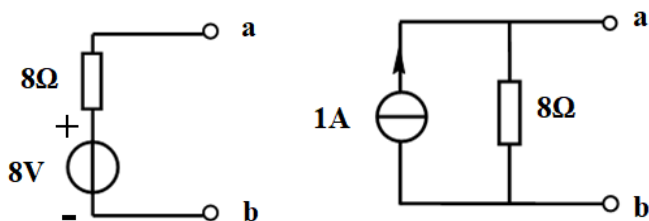
(3) 当  $R_L$  取何值时，电路取得最大传输功率；最大传输功率为多少？



解：(1) 开路电压： $U_{oc} = 3(1+1) + 2 = 8(V)$

等效电阻： $R_0 = 5 + 3 = 8(\Omega)$

(2) 戴维南等效电路及诺顿等效电路分别如下：

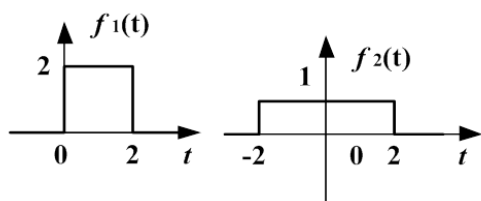


(3)  $R_L = R_0 = 8\Omega$ ；

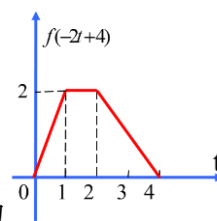
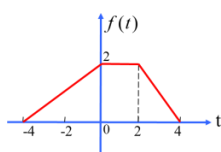
最大传输功率： $P_{\max} = \frac{U_{oc}^2}{4R_0} = 2(W)$

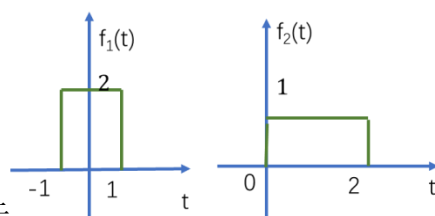
## 时域部分

- 1、  $f(t) = Sa^2(100t)$  是 能量信号 (功率信号、能量信号、既非功率亦非能量信号)。
- 2、  $f(t) = 2 + \cos(t)$  是 功率信号 (功率信号、能量信号、既非功率亦非能量信号)。
- 3、  $f(t) = 100\sin(t)[\varepsilon(t) - \varepsilon(t - 5)]$  是 能量信号 (功率信号、能量信号)。
- 4、  $f(t) = 2Sa(6\pi t)$  是 非周期 (周期、非周期) 信号, 是 能量 (能量、功率、既非功率也非能量) 信号。
- 5、  $\int_{-\infty}^{\infty} e^{-3t} [\delta(t) + \delta'(t)] dt = 4$
- 6、  $\int_{-\infty}^{\infty} e^{-2t} [\delta'(t) + \delta(t)] dt = 2 + 1 = 3$
- 7、  $\int_{-\infty}^t 4\sin \tau \cdot \delta(\tau - \frac{\pi}{6}) d\tau = \underline{2\varepsilon(t - \pi/6)}$ ;
- 8、  $\int_{-4}^4 (t^2 + 1) [\delta(t + 5) + \delta(t) + \delta(t - 2)] dt = \underline{6}$ ;
- 9、 已知  $f(t) = \varepsilon(t - 1) - \varepsilon(t - 3)$ ,  $x(t) = \delta(t - 3)$ , 则  $f(t) * x(t) = \underline{\varepsilon(t - 4) - \varepsilon(t - 6)}$ 。
- 10、 多级子系统级(串)联时, 系统冲激响应是 子系统冲激响应的卷积。
- 11、  $\int_{-\infty}^t 2\cos(\tau) \delta(\tau - \frac{\pi}{3}) d\tau = \underline{\varepsilon(t - \frac{\pi}{3})}$ 。
- 12、 已知  $f(t) = \varepsilon(t) - \varepsilon(t - 2)$ ,  $x(t) = \delta(t - 3)$ , 则  $f(t) * x(t) = \underline{\varepsilon(t - 3) - \varepsilon(t - 5)}$ 。
- 13、 信号  $f_1(t)$  和  $f_2(t)$  的波形如图所示,  $f(t) = f_1(t) * f_2(t)$ ,  $f(0) = \underline{4}$ 。



- 14、 信号  $f(t)$  如图所示, 则  $f(-2t + 4)$  的图形为





15、 信号 $f_1(t)$ 、 $f_2(t)$ 的波形如图所示

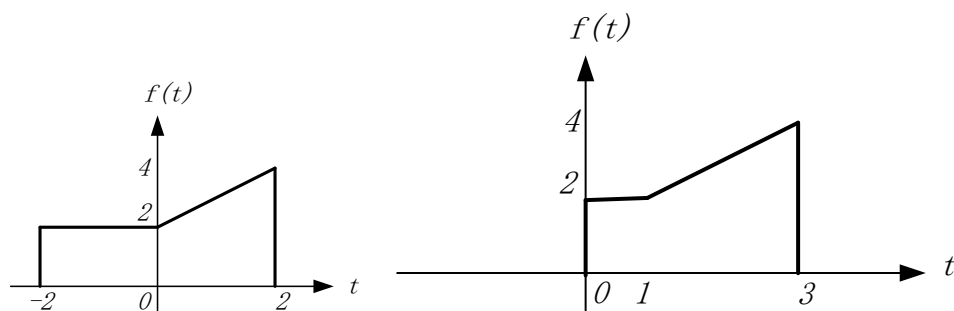
$f(t) = f_1(t) * f_2(t)$ , 则 $f(0)$ 为 2。

16、 若有系统  $y(t) = \int_{-\infty}^t e^{-(t-x)} f(x-2) dx$ , 则其冲激响应  $h(t) = \underline{e^{-(t-2)} \varepsilon(t-2)}$ 。

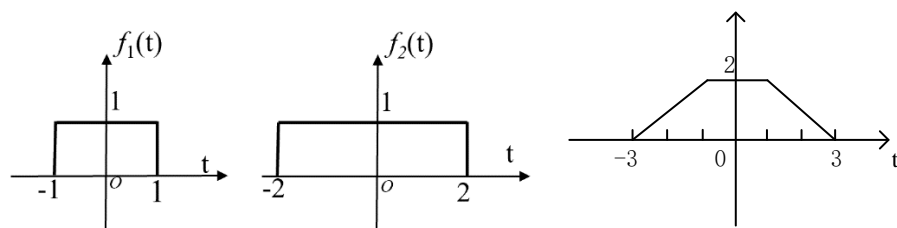
17、 若线性系统的单位阶跃响应  $g(t) = 5e^{-t} \varepsilon(t)$ , 则其单位冲激响应  $h(t) = \underline{5\delta(t) - 5e^{-t} \varepsilon(t)}$ 。

18、 由单位冲激函数 $\delta(t)$ 所引起的 零状态 (零输入、**零状态**、全) 响应称为系统的单位冲激响应, 简称冲激响应。

19、 已知 $f(t)$ 如图所示, 画出 $f(t-1)\varepsilon(t)$ 的波形 (标出关键值)。



20、 信号 $f_1(t)$ 和 $f_2(t)$ 如图所示, 请画出两个信号的卷积 $y(t)$ 的波形 (标出关键值)



## 频域部分

1、 已知周期信号  $f(t) = \sum_{k=-\infty}^{+\infty} 2Sa^2\left(\frac{\pi}{2}k\right) e^{jk\frac{\pi}{8}t}$ 。求 $f(t)$ 的周期 $T$ 和 $f(t)$ 的直流、一次和二次谐波分量; ( $T=16s$ ; 直流:  $k=0, f(t)=2$ ; 一次谐波:  $k=1, f(t) = \frac{16}{\pi^2} \cos(\frac{\pi}{8}t)$ ; 二次谐波:  $k=2, f(t)=0$ ;) )

2、 非周期、连续时间信号具有 连续、非周期频谱; 周期、连续时间信号具有离散、非周期 频谱;

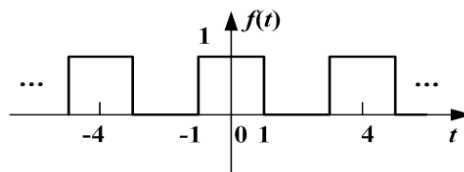
3、连续周期信号的频谱是 离散 (离散、非离散) 的, 随频率增大而 衰减 (衰减、增长)。

4、周期信号  $f(t) = \sum_{n=-\infty}^{+\infty} \frac{\sin(n\pi/2)}{n} e^{j2n\pi t}$ , 此信号的周期为 1s、直流分量为  $\pi/2$ 、频率为 5Hz 的谐波分量为  $0.4 \cos(10\pi t)$ 。

5、连续周期信号  $f(t)$  的周期为 0.1s, 傅里叶级数系数  $F_0 = 3$ 、 $F_1 = F_{-1}^* = j$ 、其余为 0, 求  $f(t)$ 。

$$\begin{aligned}\Omega &= \frac{2\pi}{T} = 20\pi \\ f(t) &= 3 + je^{j20\pi t} + (-j)e^{-j20\pi t} = 3 + e^{j(20\pi t + \pi/2)} + e^{-j(20\pi t + \pi/2)} \\ &= 3 + 2\cos(20\pi t + \pi/2) = 3 - \sin(20\pi t)\end{aligned}$$

6、已知  $f(t)$  的周期为 1s、其傅立叶级数系数  $F_0 = 5$   $F_1 = F_{-1}^* = 2e^{j0.5\pi}$   $F_2 = F_{-2}^* = e^{j\pi/3}$ 、其余为 0, 则该信号的表达式为  $f(t) = 5 + 4\cos(2\pi t + \frac{\pi}{2}) + 2\cos(4\pi t + \frac{\pi}{3})$ 。



7、周期信号  $f(t)$  如图所示, 则该信号的频谱的基波角频率为  $(\frac{\pi}{2} \text{ rad/s})$ 。

8、已知周期信号  $f_T(t)$  的周期为  $T$ , 则信号  $g(t) = f_T(t) - f_T(t + \frac{5T}{2})$  的谐波中仅包含 奇次谐波分量。

9、周期信号,  $f(t) = \sum_{n=-\infty}^{+\infty} \frac{\sin(\frac{n\pi}{2})}{n} e^{j2n\pi t}$  直流分量为  $(\frac{\pi}{2})$ , 频率为 3Hz 的谐波分量为  $-\frac{2}{3}\cos(6\pi t)$ 。

10、周期信号  $f(t)$  的周期为 0.1s、傅立叶级数系数  $F_0 = 5$   $F_3 = F_{-3}^* = 3$   $F_5 = F_{-5}^* = 2j$ 、其余为 0。试写出此信号的时域表达式  $f(t) =$   $5 + 6\cos(60\pi t) - 4\sin(100\pi t)$ 。

11、 $f(t)$  的周期为 0.1s、傅立叶级数系数  $F_0 = 5$   $F_1 = F_{-1}^* = 3$   $F_3 = F_{-3}^* = 2 + 2j$ 、其余为 0。试写出此信号的三角级数表达式  $f(t) =$   $5 + 6\cos(20\pi t) + 4\cos(60\pi t) - 4\sin(60\pi t)$ 。

12、已知  $f(t)$  的周期为 1s、其傅里叶级数的系数  $F_0 = 6$ ,  $F_1 = F_{-1}^* = 4e^{j0.3\pi}$ , 其余为 0, 则该信号三角函数形式的傅立叶级数为  $f(t) = 6 + 8\cos(2\pi t + 0.3\pi)$  或

$$6 + 8\cos(0.3\pi)\cos(2\pi t) - 8\sin(0.3\pi)\sin(2\pi t)。$$

13、已知连续周期信号  $f(t) = 5 + 6\cos t + 2\cos(2t + \pi/3)$ ，则该信号分解为复指数形式

( $\sum F_n e^{jn\Omega t}$ ) 为： $f(t) = 5 + 3e^{jt} + 3e^{-jt} + e^{j(2t+\pi/3)} + e^{-j(2t+\pi/3)}$ ；该信号的平均功率为 45W。

14、 $f(t)$  的周期为 0.01s、傅立叶级数系数  $F_0 = 5$   $F_1 = F_{-1}^* = 1$   $F_2 = F_{-2}^* = j$ 、其余为 0。试写出  $f(t) =$  $5 + 2\cos(200\pi t) - 2\sin(400\pi t)$ ，其平均功率为 29 W。

15、已知  $f(t)$  的傅里叶变换为  $F(j\omega)$ ，则  $f(2t+5)$  的傅里叶变换为 $\frac{1}{2}e^{j\frac{5}{2}\omega}F(j\frac{\omega}{2})$ 。

16、已知  $f(t) \Leftrightarrow F(j\omega)$ ，则  $f(4-3t)$  的傅立叶变换为  $\frac{1}{3}F(-j\frac{\omega}{3})e^{-j\frac{4}{3}\omega}$ 。

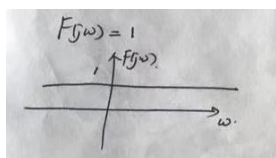
17、已知  $g_2(t) = \begin{cases} 1 & |t| < 1 \\ 0 & |t| > 1 \end{cases}$ ，求卷积积分  $g_2(t) * g_2(t)$  的傅里叶变换。

$$g_2(t) \Leftrightarrow 2Sa(\omega)$$

$$g_2(t) * g_2(t) \Leftrightarrow 2Sa(\omega) \cdot 2Sa(\omega) = 4Sa^2(\omega)$$

18、已知信号  $f(t) = \delta(t)$ ，画出信号的频谱图  $F(j\omega)$ 。

解：  $F(j\omega) = 1$ ，



19、已知信号  $f(t)$  的傅里叶变换  $F(j\omega) = \delta(\omega - \omega_0)$ ，则信号为 $f(t) = \frac{1}{2\pi}e^{j\omega_0 t}$ 。

20、已知  $f(t) \Leftrightarrow F(j\omega)$ ，则  $t \frac{df(t)}{dt}$  的傅立叶变换为  $-F(j\omega) - \omega \frac{dF(j\omega)}{d\omega}$ 。（作业）

21、抽样信号  $Sa(2\pi t)$  的傅立叶变换为  $\frac{1}{2}G_{4\pi}(\omega) = \frac{1}{2}[\varepsilon(\omega + 2\pi) - \varepsilon(\omega - 2\pi)]$ 。

22、求  $[Sa(\pi t)]^2$  的傅立叶变换；直接利用性质

23、已知  $f(t) \Leftrightarrow F(\omega)$ ，则  $f(t) \cos(200t)$  的傅立叶变换为 $[F(\omega+200) + F(\omega-200)]/2$ 。



24、已知周期信号  $f_T(t) = \sum_{-\infty}^{+\infty} F_n e^{jn\frac{2\pi}{T}t}$ ，则其傅立叶变换为  $2\pi \sum_{-\infty}^{+\infty} F_n \delta(\omega - n\frac{2\pi}{T})$ 。

25、已知信号  $f(t) = 4 + 2\cos(2t) - 2\sin(4t) + 2\cos(6t)$ ，则该周期信号的平均功率为 22 W。

26、信号  $f(t) = \frac{\sin 2t}{\pi t}$  的能量为  $2/\pi$  J。

27、 $\int_{-\infty}^{\infty} e^{-j\omega t} dt = \underline{2\pi \delta(\omega)}$ 。

28、已知  $f(t) = \frac{\sin 2\pi(t-1)}{2\pi(t-1)}$ ，其傅里叶变换为  $\frac{1}{2} G_{4\pi}(\omega) e^{-j\omega}$ 。

29、 $\int_{-\infty}^{\infty} Sa(t) * Sa(2t) dt = F[Sa(2t) * Sa(t)]|_{\omega=0} = \frac{\pi}{1} G_2(\omega) \times \frac{\pi}{2} G_4(\omega)|_{\omega=0} = 0.5\pi^2$

30、 $\int_{-\infty}^{\infty} [Sa(t) * Sa(2t)]^2 dt = \frac{1}{2\pi} \int_{-\infty}^{\infty} |F[Sa(t) * Sa(2t)]|^2 d\omega = \frac{1}{2\pi} \int_{-\infty}^{\infty} \left| \frac{\pi}{1} G_2(\omega) \times \right.$

$$\left. \frac{\pi}{2} G_4(\omega) \right|^2 d\omega = \frac{1}{2\pi} \frac{\pi^4}{4} \int_{-1}^1 1 d\omega = \frac{\pi^3}{4}$$

$$\text{利用能量等式} \int_{-\infty}^{\infty} f^2(t) dt = \frac{1}{2\pi} \int_{-\infty}^{\infty} |F(j\omega)|^2 d\omega$$

31、 $f(t) = Sa(2t) * Sa(t)$ ，则  $f(0) = ?$  解：根据  $f(0) = \frac{1}{2\pi} \int_{-\infty}^{\infty} F(j\omega) d\omega$

$$f(0) = \frac{1}{2\pi} \int_{-\infty}^{\infty} F[Sa(2t) * Sa(t)] d\omega = \frac{1}{2\pi} \frac{\pi^2}{2} = \frac{\pi}{2}$$

32、求信号  $f(t) = Sa(t) \cdot Sa(4t)$  的傅立叶变换  $F(j\omega)$ ，并求该信号的能量

$$E = \int_{-\infty}^{+\infty} f^2(t) dt。$$

思路：时域相乘，频域卷积，再利用能量等式  $\int_{-\infty}^{\infty} f^2(t) dt = \frac{1}{2\pi} \int_{-\infty}^{\infty} |F(j\omega)|^2 d\omega$

33、求信号  $f(t) = \frac{\sin(\pi t)}{t}$  的傅立叶变换  $F(j\omega)$  并求该信号的能量  $E = \int_{-\infty}^{+\infty} f^2(t) dt$ 。

$$f(t) = \frac{\sin(\pi t)}{t} = \pi Sa(\pi t) \longleftrightarrow \pi g_{2\pi}(\omega)$$

$$\therefore E = \int_{-\infty}^{+\infty} f^2(t) dt = \frac{1}{2\pi} \int_{-\infty}^{+\infty} f^2(\omega) d\omega = \pi^2$$

34、已知  $f(t) \Leftrightarrow F(\omega)$ ，以  $T_s$  为间隔进行冲激抽样后的频谱为： $F_s(\omega) = \frac{1}{T_s} \sum_{k=-\infty}^{+\infty} F(\omega - k\frac{2\pi}{T_s})$ ；

35、已知  $f(t) \leftrightarrow F(\omega)$ ，以 0.1s 为间隔进行冲激抽样后的频谱为： $-\frac{1}{10} \sum_{k=-\infty}^{\infty} F(\omega - 20k\pi)$ 。

36、周期信号  $f_T(t) = \sum_{n=-\infty}^{+\infty} F_n e^{jn\frac{2\pi}{T}t}$  的傅立叶变换为  $2\pi \sum_{n=-\infty}^{\infty} F_n \delta(\omega - n\frac{2\pi}{T})$ 。

37、已知频带有限信号  $f(t)$  的频率上限为 10 Hz，则对  $f(t)$  进行抽样时，其奈奎斯特频率为 20 Hz，最大抽样间隔为 0.05 秒。

38、信号  $f(t)$  的占有频带为 0-10KHz，被均匀采样后，能恢复原信号的最大采样周期为  $5 \times 10^{-5}$  s。

39、已知  $f(t)$  的最高频率分量为  $100\pi$  rad/s，则  $2f(t-2)$  的奈奎斯特采样间隔为 0.01s。

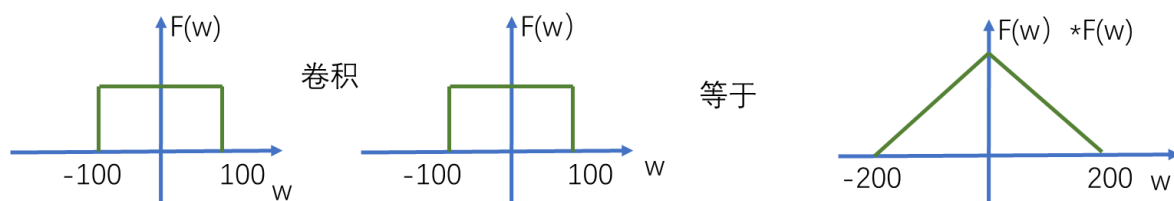
40、激励  $f(t) = Sa(5t)$  经过某无失真传输系统后的输出  $y(t) = 2Sa[5(t-1)]$ ，则系统的单位冲激响应  $h(t)$  为  $2\delta(t-1)$ ，频响特性  $H(j\omega)$  为  $2e^{-j\omega}$ 。

41、已知  $Sa(t)$  为带限信号，其傅里叶变换的频率区间上限为  $\frac{1}{2\pi}$  Hz，则对  $Sa(t)$  进行抽样时，其奈奎斯特频率为  $\frac{1}{\pi}$  Hz。

42、对信号  $f(t) = Sa^2(100t)$  均匀抽样时，其最低抽样频率  $f_s =$   $200/\pi$  Hz。

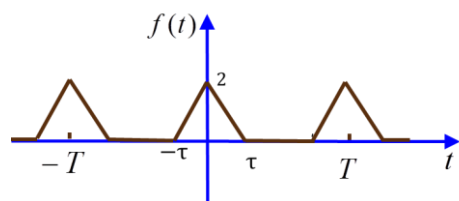
解：  $Sa(100t) \leftrightarrow \frac{\pi}{100} g_{200}(\omega)$ ，卷积前，信号占有的带宽  $W_m = 100$  rad/s，卷积后，信号的最高

频率为 200 rad/s，所以奈奎斯特采样频率  $f_s = 2 \times \frac{200}{2\pi} = 200/\pi$ 。



43、连续信号  $f(t) = \frac{\sin 100\pi(t-2)}{100(t-2)}$ ，其占有的最高频率为 50 Hz。

44、已知信号  $f(t) = \frac{\sin 10\pi t}{\pi t}$ ，能恢复原信号的最大抽样周期为 0.1s。



45、频率为 100Hz 的周期三角波，如图所示，，其中

$\tau = T/4$ , 若保证主瓣恰好不混叠, 对该信号的最低采样频率为 800Hz。

46、信号  $f(t)$  的频率上限为 100KHz, 信号  $f_1(t) = 3f(t-3)$  的最小采样频率为 200KHz。

47、信号  $f(t)$  的频率上限为 100KHz, 信号  $f_1(t) = 3f(t-3)*f(t)$  的最小采样频率为 200KHz。

48、求  $f_1(t) = Sa(20\pi t)$ ,  $f_2(t) = f_1^2(3t)$ ,  $f_3(t) = f_1(0.5t)$ ,  $f_4(t) = 5f_1(t-1)$  的奈奎斯特抽样频率  $f_{s1}$ 、 $f_{s2}$ 、 $f_{s3}$ 、 $f_{s4}$ 。

解：由抽样定理， $f_s = 2f_m$ 。

$$f_1(t) = Sa(20\pi t) \leftrightarrow F_1(\omega) = \frac{1}{20} G_{40\pi}(\omega), \quad \therefore \omega_{1m} = 20\pi, f_{1m} = 10\text{Hz}, \therefore f_{s1} = 20\text{Hz};$$

$$f_2(t) = f_1^2(3t) \leftrightarrow F_2(\omega) = \frac{1}{2\pi} \times \frac{1}{3} F_1\left(\frac{\omega}{3}\right) * \frac{1}{3} F_1\left(\frac{\omega}{3}\right) \quad \therefore f_{2m} = 2 \times 3 f_{1m} = 60\text{Hz}, \therefore f_{s2} = 120\text{Hz}$$

$$f_3(t) = f_1(0.5t) \leftrightarrow F_3(\omega) = 2F_1(2\omega), \quad \therefore f_{3m} = 0.5 f_{1m} = 5\text{Hz}, \therefore f_{s3} = 10\text{Hz};$$

$$f_4(t) = 5f_1(t-1) \leftrightarrow F_4(\omega) = 5F_1(\omega)e^{-j\omega}, \quad \therefore f_{4m} = f_{1m} = 10\text{Hz}, \therefore f_{s4} = 20\text{Hz}$$

49、信号  $f(t)$  的频率上限为 10Hz, 求信号  $f_1(t) = f(t-4)$ 、 $f_2(t) = f(3t)$ 、 $f_3(t) = f(3t)f(t-4)$  的最低采样频率  $f_{s1}$ 、 $f_{s2}$ 、 $f_{s3}$ 。

解：(1)  $f_1(t) = f(t-4)$ , 由  $f(t)$  时移得到, 而时移特性不改变信号带宽, 所以其

频率上限仍为 10Hz, 所以其最低采样频率为  $f_{s1} = 20\text{Hz}$ ;

(2)  $f_2(t) = f(3t)$ ,  $f_2(t)$  由  $f(t)$  尺度变换获得, 时域压缩, 频率展宽, 所以其频

率上限为 30Hz, 所以其最低采样频率为  $f_{s2} = 60\text{Hz}$ ;

(3)  $f_3(t) = f(3t)f(t-4)$ , 由频域卷积定理—两个信号在时域代数相乘, 频域作

卷积。所以其频率上限为 40Hz, 所以其最低采样频率为  $f_{s3} = 80\text{Hz}$ 。

50、求  $f_1(t) = Sa(100\pi t)$ ,  $f_2(t) = f_1^2(t)$ ,  $f_3(t) = 3f_1(3t)$ ,  $f_4(t) = 3f_1(t-4)$  的最小抽样频率  $f_{s1}$ 、 $f_{s2}$ 、 $f_{s3}$ 、 $f_{s4}$ 。 (100, 200, 300, 100 Hz)

51、描述 RC 电路的微分方程为  $\frac{du_c(t)}{dt} + 4u_c(t) = 8\varepsilon(t)$ , 则系统的时间常数为 0.25s,

$u_c(t)$  的稳态响应为  $2\varepsilon(t)$

- 52、已知某周期信号的傅立叶变换  $F(\omega) = \sum_{n=-\infty}^{+\infty} \frac{\sin(n\pi/2)}{n} \delta(\omega - n\pi/2)$ ，求此周期信号的平均功率。

$$F(\omega) = \sum_{n=-\infty}^{+\infty} \frac{\sin(n\pi/2)}{n} \delta(\omega - n\pi/2) = \frac{2\pi}{4} \sum_{n=-\infty}^{+\infty} \frac{\sin(n\pi/2)}{n\pi/2} \delta(\omega - n\pi/2)$$

可知， $\Omega = \frac{\pi}{2}$   $T = 4$ ，根据周期信号的 FT 与其傅里叶级数之间的关系，可知：

$$F_n = \frac{\sin(n\pi/2)}{n2\pi} = \frac{1}{4} Sa\left(n\frac{\pi}{2}\right); F_0(\omega) = Sa(\omega) \leftrightarrow f_0(t) = \frac{1}{2} g_2(t), \text{再以 } T \text{ 为周期进行}$$

扩展得到周期信号  $f(t) = \frac{1}{2} \sum_{n=-\infty}^{+\infty} g_2(t - n4)$ ，即原信号为周期为 4，宽度为 2，高度

为 0.5 的周期方波信号，其平均功率为 1/8W。

- 53、已知信号  $f(t) = 1 - 5\sin(2\pi t) + 3\cos(6\pi t)$ ，写出其指数形式的傅立叶级数并计算其平均功率。

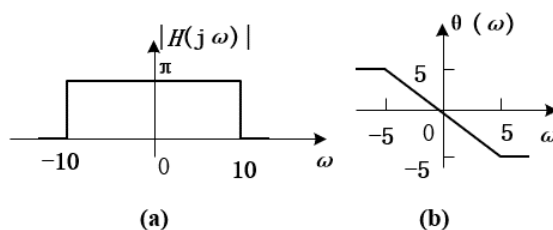
$$\begin{aligned} f(t) &= 1 - 5 \frac{e^{j2\pi t} - e^{-j2\pi t}}{2j} + 3 \frac{e^{j6\pi t} + e^{-j6\pi t}}{2} \\ &= 1.5e^{-j6\pi t} - 2.5je^{-j2\pi t} + 1 + 2.5je^{j2\pi t} + 1.5e^{j6\pi t} \end{aligned}$$

$$\bar{P} = (a_0)^2 + \frac{1}{2} \sum_{n=1}^{\infty} (a_n^2 + b_n^2) = 1 + (25 + 9)/2 = 18$$

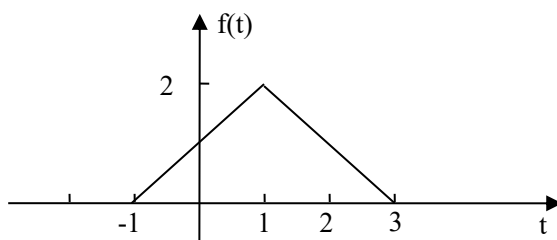
- 54、已知某系统的幅频、相频特性如下图 (a) (b) 所示，求信号  $f(t) = 1 + 3\cos(6t) + \sin(12t)$  经过该系统后的输出  $y(t)$ ，并指出产生了何种失真。

解：  $y(t) = 1 \cdot \pi + 3 \cdot \pi \cos(6t - 5) + 1 \cdot 0 \sin(12t - 5)$   
 $= \pi + 3\pi \cos(6t - 5)$

幅度失真和相位失真

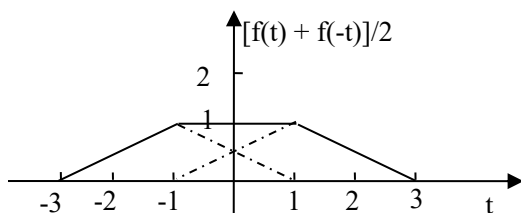


- 55、设有如图所示信号且  $f(t) \leftrightarrow F(\omega)$ 。求①  $\int_{-\infty}^{+\infty} F(\omega) d\omega$ ；②  $\text{Re}\{F(\omega)\}$  原函数的图形 (不必写出其表达式)。



$$\textcircled{1} \int_{-\infty}^{+\infty} F(\omega) d\omega = 2\pi f(0) = 2\pi ;$$

$$\textcircled{2} \operatorname{Re}\{F(\omega)\} = \frac{1}{2}(F(\omega) + F(-\omega)) \Leftrightarrow \frac{1}{2}(f(t) + f(-t))$$



56、求信号  $f(t) = \frac{\sin(\pi t)}{t}$  的傅立叶变换  $F(j\omega)$  并求该信号的能量  $E = \int_{-\infty}^{+\infty} f^2(t) dt$ 。

$$f(t) = \frac{\sin(\pi t)}{t} = \pi \operatorname{Sa}(\pi t) \Leftrightarrow \pi [\varepsilon(\omega + \pi) - \varepsilon(\omega - \pi)]$$

$$E = \int_{-\infty}^{+\infty} f^2(t) dt = \frac{1}{2\pi} \int_{-\infty}^{+\infty} |F(\omega)|^2 d\omega = \pi^2$$

57、利用傅立叶变换计算卷积积分  $f(t) = \frac{\sin(8\pi t)}{\pi t} * \frac{\sin(4\pi t)}{\pi t}$ ，并求  $f(t)$  的能量  $E$ 。

解：已知， $\operatorname{Sa}(t) \Leftrightarrow \pi g_2(\omega)$ ，由尺度变换特性有：

$$\frac{\sin(8\pi t)}{\pi t} = 8\operatorname{Sa}(8\pi t) \Leftrightarrow g_{16\pi}(\omega)$$

$$\frac{\sin(4\pi t)}{\pi t} = 4\operatorname{Sa}(4\pi t) \Leftrightarrow g_{8\pi}(\omega)$$

由时域卷积定理有：

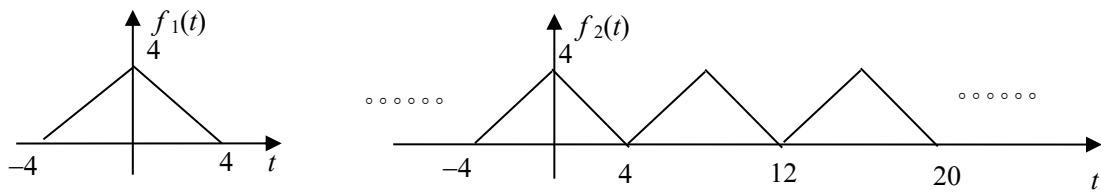
$$f(t) = \frac{\sin(8\pi t)}{\pi t} * \frac{\sin(4\pi t)}{\pi t} \Leftrightarrow g_{16\pi}(\omega) \bullet g_{8\pi}(\omega) = g_{8\pi}(\omega)$$

$$\therefore f(t) = \frac{\sin(4\pi t)}{\pi t}$$

由能量守恒定律，可求  $f(t)$  的能量为：

$$E = \int_{-\infty}^{\infty} f^2(t) dt = \frac{1}{2\pi} \int_{-\infty}^{\infty} |F(j\omega)|^2 d\omega = \frac{1}{2\pi} \int_{-4\pi}^{4\pi} 1 d\omega = 4$$

58、信号  $f_1(t)$ 、 $f_2(t)$  如图所示。求  $F_1(j\omega)$  和  $F_2(j\omega)$ 、大致画出频谱图并进行比较。



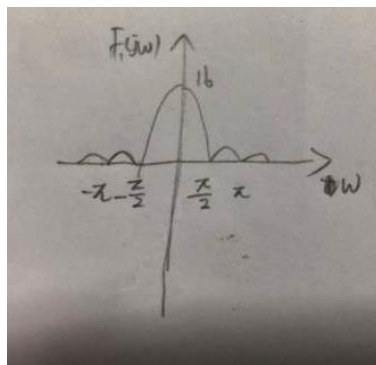
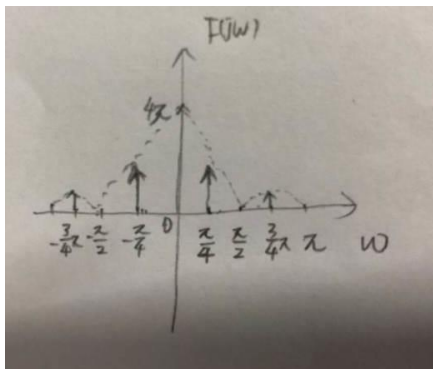
解:

$$\text{三角脉冲函数 } f_1(t) = \begin{cases} 4-|t|, & |t| < 4 \\ 0, & |t| > 4 \end{cases} = g_4(t) * g_4(t), \Rightarrow F_1(j\omega) = 16Sa^2(2\omega)$$

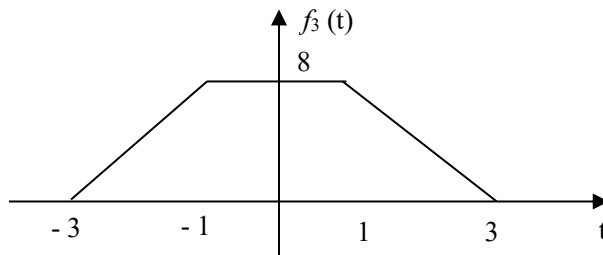
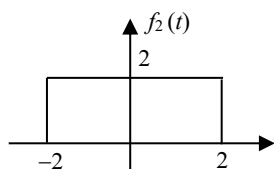
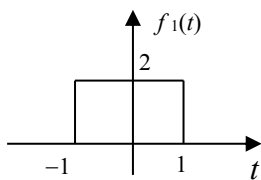
周期延拓后,  $f_2(t) = \sum_{n=-\infty}^{\infty} f_1(t-nT)$  频谱为离散频谱

$$F_2(j\omega) = \frac{2\pi}{T} \sum_{n=-\infty}^{\infty} F_0(j\omega) \big|_{\omega=n\Omega} \delta(\omega-n\Omega)$$

$$= 2\pi \sum_{n=-\infty}^{\infty} 2Sa^2\left(\frac{\pi}{2}n\right) \delta\left(\omega-n\frac{\pi}{4}\right) \quad \Omega = \frac{2\pi}{T} = \frac{\pi}{4}$$



59、已知两矩形脉冲  $f_1(t)$  与  $f_2(t)$ 。  $f_3(t) = f_1(t) * f_2(t)$ 。(1)画出  $f_3(t)$  的图形;(2)求信号  $f_3(t)$  的傅氏变换  $F_3(\omega) = \underline{32 Sa(\omega) Sa(2\omega)}$ 。

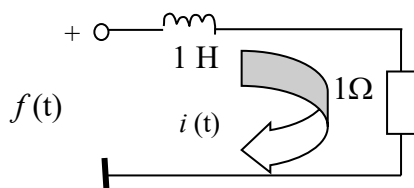


60、求矩形脉冲  $G(t) = \varepsilon(t+5) - \varepsilon(t-5)$  经冲激抽样后的傅里叶变换。抽样间隔  $1/5$ 。大

致画出  $F(\omega)$  的图形。

$$F(\omega) = 50 \sum_{k=-\infty}^{+\infty} Sa[5(\omega - 10\pi k)]$$

61、已知如图所示 LC 电路的端电压为周期信号  $f(t) = \sum_{k=-\infty}^{+\infty} 2Sa^2\left(\frac{\pi}{2}k\right)e^{jk\frac{\pi}{4}t}$ 。



求：(1)  $f(t)$  的周期  $T$  和  $f(t)$  的直流、一次和二次谐波分量；

(2) 电流  $i(t)$  的直流、一次和二次谐波分量；

(3) 大致画出  $t=0$  到  $T$  的  $f(t)$  的波形。

解：(1)  $\Omega = \frac{\pi}{4} \rightarrow T = 8s$ ，傅里叶系数  $F_n = 2Sa^2\left(\frac{\pi}{2}n\right) = 2Sa^2(2n\Omega)$ 。

直流分量即  $k=0$ ， $F_0 = 2$ ；直流分量为 2。

一次谐波分量， $k=1$ ， $F_1 = 2Sa^2\left(\frac{\pi}{2}\right) = \frac{8}{\pi^2}$ ，一次谐波分量为  $2 \times \frac{8}{\pi^2} \times \cos\left(\frac{\pi t}{4}\right)$

二次谐波分量， $k=2$ ， $F_2 = 2Sa^2\left(\frac{\pi}{2} \cdot 2\right) = 0$ ，二次谐波分量为 0。

(2)  $i(t) = \frac{f(t)}{1+j\omega}$ ，直流： $\omega=0$ ， $H(j\omega)=1$ ， $i(t)|_{\omega=0}=2$ ；一次谐波： $\omega=\frac{\pi}{4}$ ，

$$H(j\omega) = \frac{1}{1+j\frac{\pi}{4}}，i(t)|_{\omega=\frac{\pi}{4}} = \frac{2 \times \frac{8}{\pi^2} \times \cos\left(\frac{\pi t}{4}\right)}{1+j\frac{\pi}{4}}；二次谐波： $i(t)=0$ 。$$

(3)  $F_n = 2Sa^2(2n\Omega)$ ，且  $F_n = \frac{1}{T} F_0(j\omega)|_{\omega=n\Omega}$ ，所以  $F_0(j\omega) = T \cdot F_n = 8 \times 2Sa^2(2\omega)$ 。频域

相乘，对应时域卷积， $4Sa(2\omega) \Leftrightarrow G_4(t)$ ，所以  $f(t) = G_4(t) * G_4(t)$ ，图略。

62、计算  $f(t) = [\varepsilon(t + \pi/4) - \varepsilon(t - \pi/4)] * [\cos t \delta(\sin t)]$  并画出其波形。

$$\text{解： } f(t) = g_{\pi/2}(t) * \sum_{n=-\infty}^{\infty} (-1)^n \delta(t - n\pi) = \sum_{n=-\infty}^{\infty} (-1)^n g_{\pi/2}(t - n\pi)$$

63、现有系统函数  $H(s) = \frac{s}{s^2 - 3s + 2}$ ，其频响特性  $H(j\omega) =$  不存在。

64、现有系统冲激函数  $h(t) = 5e^{3t}\varepsilon(t)$ ，其频响特性  $H(j\omega) =$  不存在。

65、现有系统冲激函数  $h(t) = 2e^{-3t}\varepsilon(t)$ ，其频响特性  $H(j\omega) = \frac{2}{3 + j\omega}$ 。

66、某 LTI 系统的  $H(j\omega) = j\omega$ ，若输入  $f(t) = 2 + \cos(2t)$ ，则输出  $y(t) = -2 \sin(2t)$ 。

67、若输入与输出之间满足  $y(t) = \int_{-\infty}^t e^{-(t-x)} f(x) dx$ ，则其冲激响应  $h(t) = \underline{e^{-t}\varepsilon(t)}$ 。

68、若有系统  $y(t) = \int_{-\infty}^t f(t) dt$ ，则其  $h(t) = \underline{\varepsilon(t)}$ 、 $H(j\omega) = \underline{\frac{1}{j\omega} + \pi\delta(\omega)}$ 。

69、若有系统  $y(t) = \frac{df(t)}{dt}$ ，则其  $h(t) = \underline{\delta'(t)}$ 、 $H(j\omega) = \underline{j\omega}$ 。

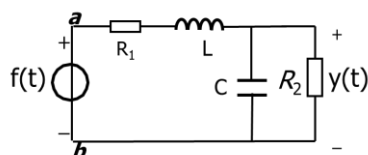
70、若有系统  $y(t) = k f(t-2)$ ，则其  $h(t) = \underline{k\delta(t-2)}$ 、 $H(j\omega) = \underline{ke^{-j2\omega}}$ 。

71、某 LTI 系统的冲激响应为  $h(t) = \delta(t) - e^{-t}\varepsilon(t)$ ，系统的频率响应  $H(j\omega) = \underline{1 - \frac{1}{1+j\omega}}$ 。

若输入  $f(t) = 2 + \cos(t)$ ，则输出  $y(t) = \underline{\cos(t) - \frac{\sqrt{2}}{2}\cos(t-45^\circ)}$ 。

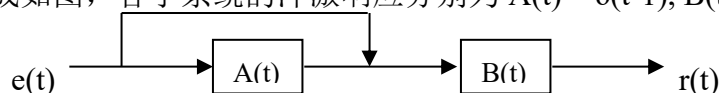
72、已知系统的频率响应特性  $H(j\omega) = \frac{j\omega}{1+j\omega}$ ，激励  $f(t) = 2 + \cos(t + \pi/3)$ ，则系统的输出  $y(t) = \underline{\frac{1}{\sqrt{2}}\cos(t + 7\pi/12)}$ 。

73、已知系统频率响应  $H(j\omega) = \frac{1}{1+j\omega}$ ，当输入为  $f(t) = \sin(t)\varepsilon(t)$  时，系统的稳态响应为： $\underline{y_{ss}(t) = \frac{1}{\sqrt{2}}\sin(t-45^\circ)}$ 。



74、如图所示电路，输入是激励电压  $f(t)$ ，输出是电容电压  $y(t)$ ，求系统频率响应为： $\underline{H(j\omega) = \frac{1/(j\omega C + \frac{1}{R2})}{R1 + j\omega L + 1/(j\omega C + \frac{1}{R2})}}$ 。

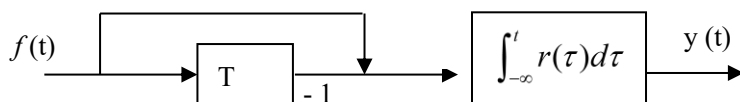
75、已知系统构成如图，各子系统的冲激响应分别为  $A(t) = \delta(t-1)$ ,  $B(t) = \varepsilon(t) - \varepsilon(t-3)$ ，



则总的冲激响应为  $\underline{\varepsilon(t) - \varepsilon(t-3) + \varepsilon(t-1) - \varepsilon(t-4)}$ 。

76、已知系统描述  $y''(t) + 5y'(t) + 6y(t) = 2f'(t)$ ，且  $f(t) = \sin(t)\varepsilon(t)$ ， $y(0_-) = 0$ ， $y'(0_-) = 3$ ，则  $y(0_+)$  和  $y'(0_+)$  分别为  $\underline{0}$ 、 $\underline{3}$ 。

77、系统如图所示。若  $f(t) = \sum_{n=0}^{+\infty} \delta(t-nT)$ ,  $n=0,1,2,\dots$ ，则零状态响应  $y(t) = \underline{\varepsilon(t)}$ 。





78、已知一系统的微分方程为  $y''(t) + 3y'(t) + 2y(t) = f''(t) + cf(t)$ ，当  $f(t) = \varepsilon(t)$  时，系统的稳态响应  $y_{ss}(t) = \varepsilon(t)$ ，则系数  $c$  为 2。

79、已知系统描述  $2\frac{d^2r(t)}{dt^2} + 3\frac{dr(t)}{dt} + 4r(t) = \frac{de(t)}{dt}$ ，且  $e(t) = \cos(t)\varepsilon(t)$ ， $r(0^-) = 0$

$r'(0^-) = 1$ ，则  $r(0^+) = \underline{0}$ ， $r'(0^+) = \underline{1.5}$ 。

80、已知系统描述  $2\frac{d^2r(t)}{dt^2} + 3\frac{dr(t)}{dt} + 4r(t) = \frac{de(t)}{dt}$ ，且  $e(t) = \sin(t)\varepsilon(t)$ ， $r(0^-) = 0$ ，

$r'(0^-) = 1$ ，则  $r(0^+) = \underline{0}$ ， $r'(0^+) = \underline{1}$ 。

81、已知系统的频率响应特性  $H(j\omega) = \begin{cases} 4e^{-j2\omega}, & |\omega| < 20 \text{ rad/s} \\ 0, & |\omega| > 20 \text{ rad/s} \end{cases}$ ，则激励信号  $f(t) =$

$S_a(5t)$  经过该系统后，无 失真（无/相位/幅度）。

82、写出信号  $f(t) = 10 + 2\cos(100t + \pi/6) + 4\cos(300t + \pi/3)$  经过截止频率  $150 \text{ rad/s}^{-1}$  的理想低通滤波器  $H(j\omega) = 5G_{300}(\omega)e^{-j2\omega}$  后的表达式为： $f(t) = 50 + 10\cos[100(t - 2) + \pi/6]$ 。

83、理想低通滤波器的截止频率为  $100\text{Hz}$ 、增益为  $2$ 、延时为  $3$ ，其频响特性为  $H(j\omega) =$   
 $2G_{400\pi}(\omega)e^{-j3\omega}$ 。

84、已知信号  $f(t) = 1 + \sin(6t) + \cos^2(20t)$ 。能够无失真地传输此信号的理想低通滤波器的频率特性  $H(j\omega) = \underline{kG_{2\omega_c}(\omega)e^{-j\omega t_d}}$ ，其中  $k$ 、 $t_d$  为常数、 $\omega_c > 40 \text{ rad/s}$ 。

85、理想低通滤波器：截止频率  $50\text{Hz}$ 、增益  $5$ 、延时  $3$ ，则其频响特性  $H(j\omega) = \underline{5G_{200\pi}(\omega)e^{-j3\omega}}$ 。

86、激励信号  $f(t) = 1 + 2\text{Sa}(50\pi t) + 4\cos(300\pi t + \pi/3) + 4\cos(600\pi t + \pi/3)$  通过理想低通滤波器后的响应为  $y(t) = 10 + 20\text{Sa}[50\pi(t - 6)] + 40\cos[300\pi(t - 6) + \pi/3]$ 。请写出此理想低通滤波器的频率响应特性  $H(j\omega) = \underline{10G_{2\omega_c}(\omega)e^{-j6\omega}, 600\pi > \omega_c > 300\pi \text{ rad/s}}$ 。

87、已知滤波器的频率特性  $H(j\omega) = \begin{cases} [4 - |\omega|]e^{-j\omega} & |\omega| < 4 \text{ rad/s} \\ 0 & |\omega| \geq 4 \text{ rad/s} \end{cases}$ ，输入为

$f(t) = 2 + \cos(t) + 0.2\cos(3t + \pi/6) + 0.1\cos(5t + \pi/3)$ 。写出滤波器的响应

$y(t) = 8 + 3\cos(t - 1) + 0.2\cos(3t + \pi/6 - 3)$ 。问信号经过滤波器后是否有失真？（有）

若有失真，是幅度失真还是相位失真？或是幅度、相位皆有失真？（幅度失真）

88、某 LTI 系统的输入为  $f(t) = -6\sin(10\pi t) + 3\cos(60\pi t)$ ，输出信号为

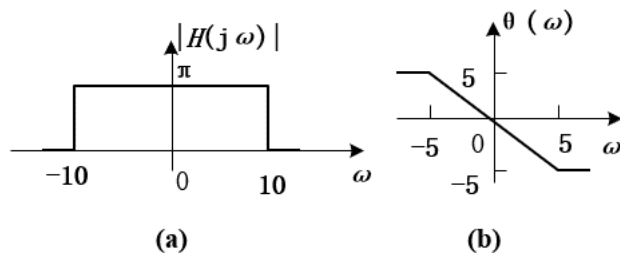
$y(t) = -2\sin(10\pi t - 0.5\pi) + \cos(60\pi t - 0.5\pi)$ 。输入信号经过该系统后幅度\_\_\_\_\_不

失真\_\_\_\_\_（失真、不失真），相位\_\_\_\_\_失真\_\_\_\_\_（失真、不失真）。

89、某 LTI 系统的输入和输出分别为  $f(t) = \sin(60\pi t) - 2\cos(120\pi t)$  和  $y(t) =$

$2\sin(60\pi t - 0.2\pi) - 4\cos(120\pi t - 0.4\pi)$ ，该系统：相位幅度均无失真

90、系统的幅频特性  $|H(j\omega)|$  和相频特性如图所示，信号  $f(t) = \sin(2t) + \sin(4t)$  通过该系统时，是否存在失真？（否）



91、已知系统的频率特性  $H(j\omega) = \begin{cases} 5e^{-j^2}, & \omega > 0 \\ 5, & \omega = 0 \\ 5e^{j^2}, & \omega < 0 \end{cases}$ ，输入为

$f(t) = 2 + \cos(t) + 0.2\cos(3t) + 0.1\cos(5t)$ 。（1）求系统响应  $y(t)$ ；（2）问信号经过系统后是否有失真？若有失真，是幅度失真还是相位失真？或是幅度、相位皆有失真？

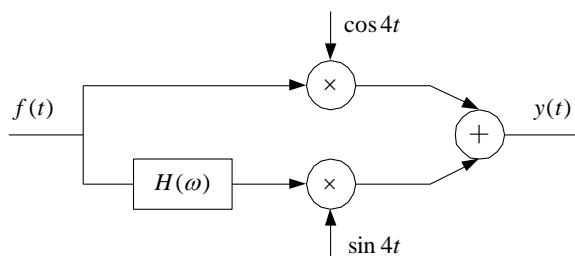
解：（1） $y(t) = 10 + 5\cos(t - 2) + \cos(3t - 2) + 0.5\cos(5t - 2)$

（2）信号经过系统后有失真。

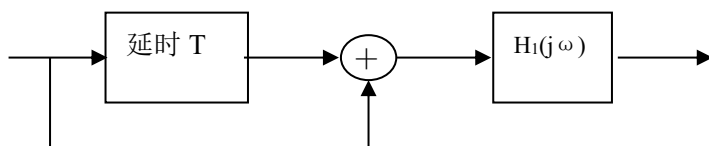
$|H(j\omega)| = 5$ ，故幅度不失真； $\varphi(\omega) = \begin{cases} -2, & \omega > 0 \\ 2, & \omega < 0 \end{cases}$ ，不与  $\omega$  成正比，故有相位失真。

92、如图所示系统，已知  $F(\omega) = \begin{cases} 1, & |\omega| \leq 2 \\ 0, & |\omega| > 2 \end{cases}$ ， $H(j\omega) = j\text{sgn}(\omega)$ ，求系统的零状态响

应  $y(t)$ 。（建议用图解法） $y(t) = \frac{2}{\pi} \text{Sa}(t) \cos(5t)$



93、如图所示， $H_1(j\omega)$  为理想低通滤波器，



$$H_1(j\omega) = \begin{cases} e^{-j\omega t_0} & |\omega| \leq 1, \\ 0 & |\omega| > 1, \end{cases}$$

求系统的阶跃响应. (提示:  $Si(y) = \int_0^y \frac{\sin x}{x} dx$ ).

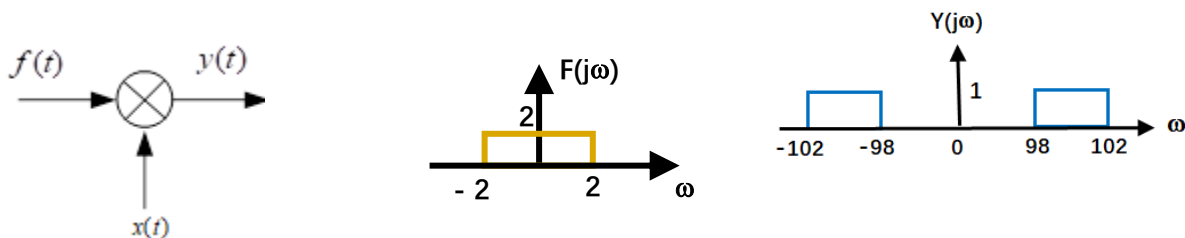
$$\underline{h_1(t) = \frac{1}{\pi} Sa(t-t_0);} \quad \underline{g(t) = 1 + \frac{1}{\pi} Si(t-t_0) + \frac{1}{\pi} Si(t-T-t_0)}$$

94、已知系统对激励  $f(t) = \sin(t) \cdot \varepsilon(t)$  的零状态响应  $y(t) =$

$$[\frac{1}{5}e^{-2t} - \frac{1}{5}\cos(t) + \frac{2}{5}\sin(t)]\varepsilon(t), \text{ 求系统的冲激响应 } h(t) = \underline{e^{-2t}\varepsilon(t)}.$$

95、如图所示调幅系统，已知输入信号  $f(t) = \frac{2\sin(2t)}{\pi t}$ ，载波信号  $x(t) = \cos 100t$ ，输出

$y(t) = f(t)x(t)$ 。画出  $f(t)$  及  $y(t)$  的频谱图，并简要说明如何从  $y(t)$  中恢复  $f(t)$ 。



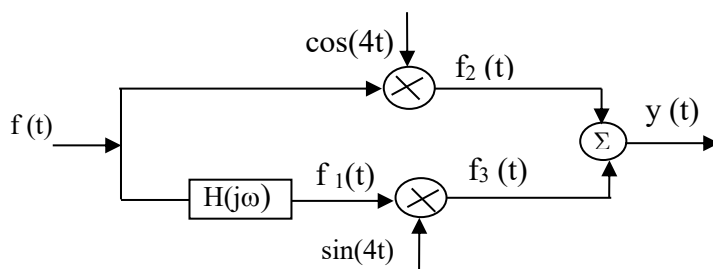
$$\text{解: } F(j\omega) = F[f(t)] = 2G_4(\omega), \quad Y(j\omega) = F[y(t)] = \frac{F(\omega+100) + F(\omega-100)}{2}$$

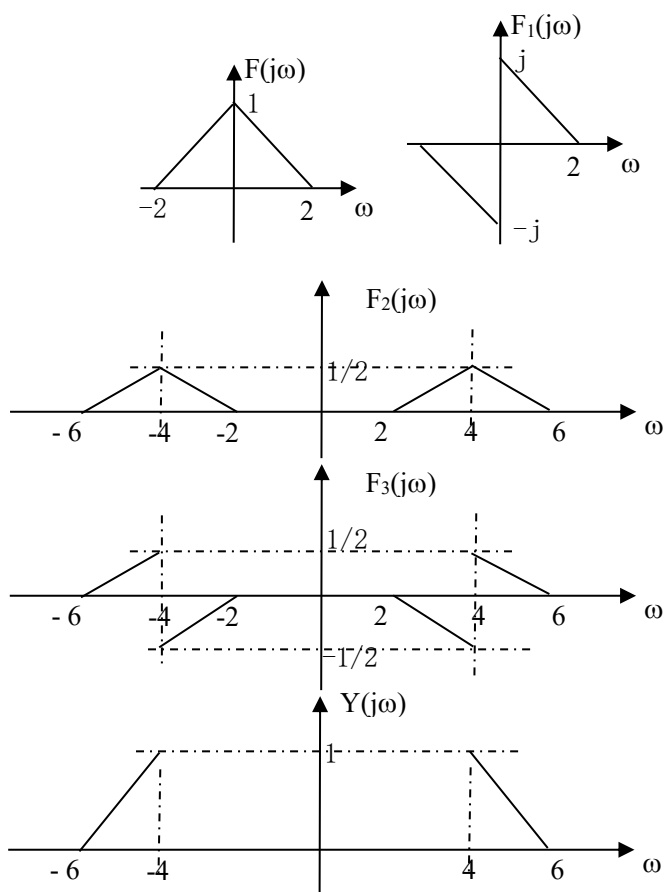
将  $y(t)$  与  $x(t) = \cos 100t$  相乘，再经过低通滤波器  $2G_{2\omega_c}(\omega) (2 < \omega_c < 198)$  输出得到

$f(t)$ 。

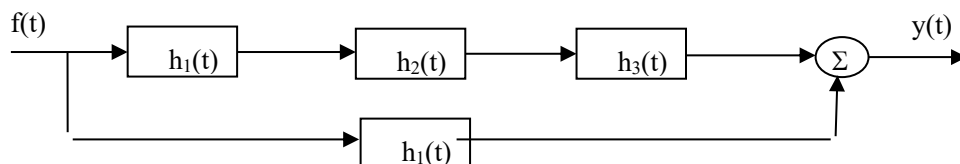
96、如图所示系统，已知  $f(t) = \frac{1}{\pi}[Sa(t)]^2$ ， $H(j\omega) = j\text{sgn}(\omega)$ ，(1) 试画出  $f(t)$ 、 $f_1(t)$ 、

$f_2(t)$ 、 $f_3(t)$  和  $y(t)$  的频谱图；(2) 说明信号经此系统转换后再传输的意义；(3) 说明由  $y(t)$  恢复  $f(t)$  的方法。

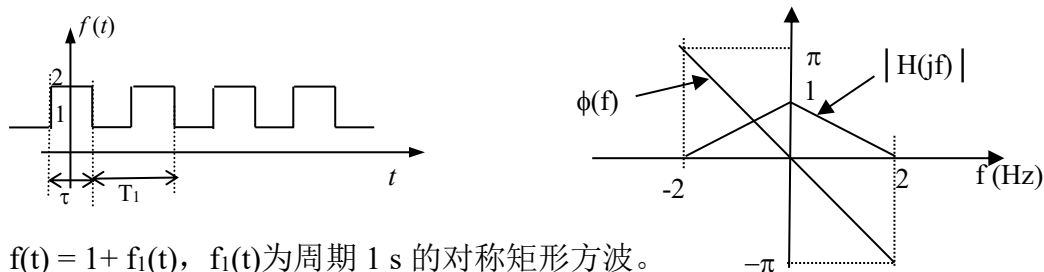




- 97、系统构成如图所示。各子系统的冲击响应分别为： $h_1(t) = \varepsilon(t)$ ， $h_2(t) = \delta(t-1)$ ， $h_3(t) = -\delta(t)$ 。求总的冲激响应  $h(t)$ 。 $h(t) = \varepsilon(t) - \varepsilon(t-1)$



- 98、设有周期矩形方波信号  $f(t)$  如图 (a) 所示。其周期  $T_1 = 1\text{ s}$ ，脉冲宽度  $\tau = 0.5\text{ s}$ 。求  $f(t)$  经过一理想低通滤波器后的输出信号  $y(t)$ 。理想低通滤波器的幅频、相频特性如图 (b) 所示。



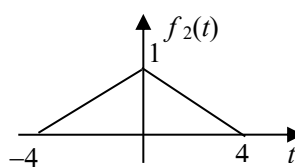
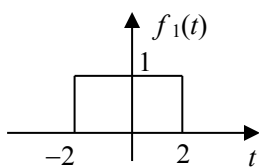
$f(t) = 1 + f_1(t)$ ， $f_1(t)$  为周期  $1\text{ s}$  的对称矩形方波。

$$f_1(t) = \sum_{k=-\infty}^{+\infty} 0.5 \text{Sa}(k0.5\pi) e^{-jk2\pi t} = \frac{1}{2} + \frac{2}{\pi} \left[ \cos(2\pi t) - \frac{1}{3} \cos(6\pi t) + \frac{1}{5} \cos(10\pi t) - \dots \right]$$

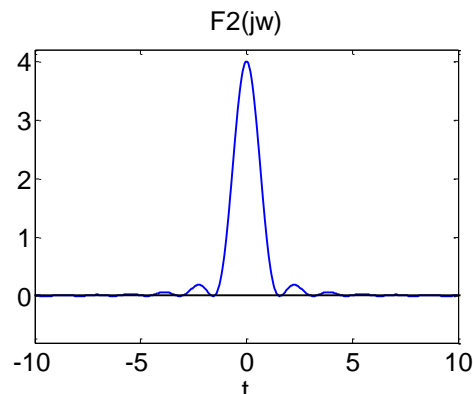
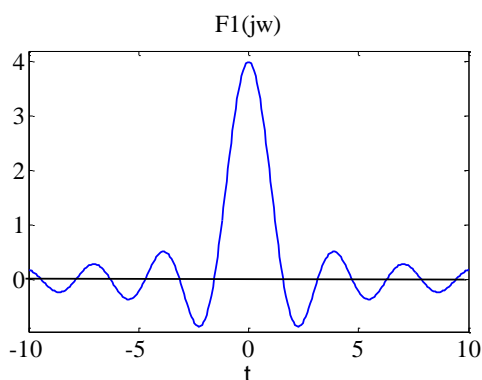
由低通滤波器的幅频、相频特性可知， $f = 0$  时，增益为 1； $f = 1$  时，增益为  $1/2$ 、相移

为  $-0.5$  ;  $f > 2$ , 增益为 0。所以,  $y(t) = \frac{3}{2} + \frac{1}{\pi} \cos\left(2\pi t - \frac{\pi}{2}\right) = \frac{3}{2} + \frac{1}{\pi} \sin(2\pi t)$ 。

99、信号  $f_1(t)$ 、 $f_2(t)$  如图所示。求  $F_1(j\omega)$  和  $F_2(j\omega)$ 、大致画出频谱图并进行比较。



$F_1(j\omega) = 4 \text{Sa}(2\omega)$ ; 又因为,  $f_2(t) = f_1(t) * f_1(t)/4$ , 和  $F_2(j\omega) = 4 \text{Sa}^2(2\omega)$ 。

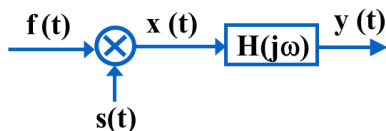


(图中  $t$  应为  $\omega$ ) 比较  $F_1(j\omega)$  和  $F_2(j\omega)$  可以发现, 三角脉冲的高频成分要比矩形脉冲的高频成份少, 即随着频率的增大, 幅频特性的幅值更快地得到收敛。从时域上看, 三角脉冲是连续 (其一阶导数有断点), 而矩形脉冲本身就有断点。

100、对上题中的  $f_1(t)$  以 0.5 秒为间隔进行冲激抽样得到  $f_{1s}(t) = \sum_{k=-\infty}^{+\infty} f_1(kT_s) \delta(t - kT_s)$ ,

试求  $f_{1s}(t)$  的傅立叶变换  $F_{1s}(j\omega) = \frac{1}{0.5} \sum_{k=-\infty}^{+\infty} F_1\left(\omega - k \frac{2\pi}{0.5}\right)$  并大致画出其频谱图  $F_{1s}(j\omega)$

以  $4\pi$  为周期的周期延拓; (将上题中的  $f_2(t)$  与  $\cos(4\pi t)$  相乘得到  $f_3(t)$ , 试求  $f_3(t)$  的傅立叶变换  $F_3(j\omega) = [F_2(\omega + 4\pi) - F_2(\omega - 4\pi)]/2$  大致画出其频谱图。



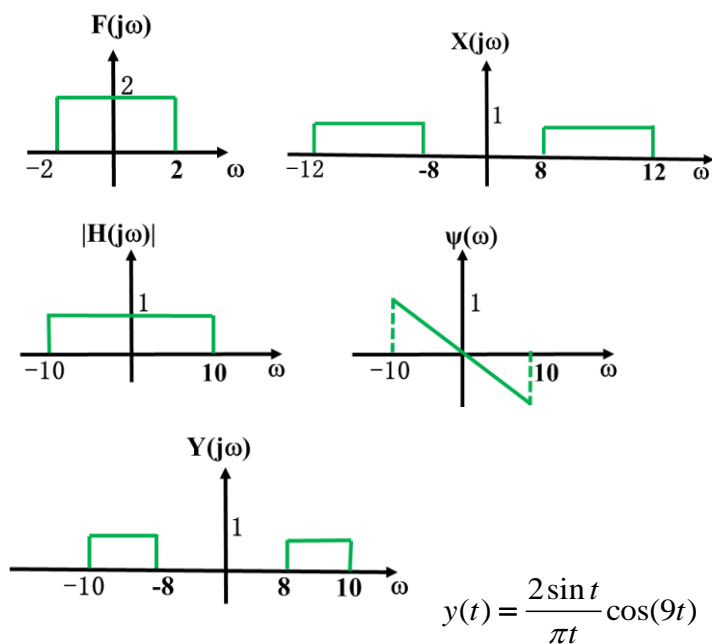
101、如图所示系统中, , 已知输入信号

$$f(t) = \frac{2 \sin(2t)}{\pi t}, s(t) = \cos(10t), \text{ 子系统频响特性 } H(j\omega) = \begin{cases} e^{-j\omega}, & |\omega| < 10 \text{ rad/s} \\ 0, & |\omega| > 10 \text{ rad/s} \end{cases}.$$

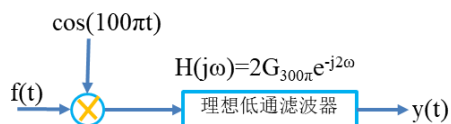
(1) 画出  $F(j\omega)$  的频谱; (2) 画出  $X(j\omega)$  的频谱; (3) 画出  $H(j\omega)$  的频谱; (4)

画出  $Y(j\omega)$  的频谱; (5) 写出输出信号  $y(t)$  的表达式。

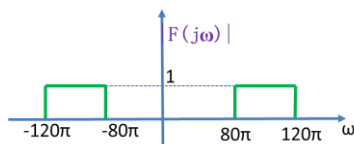
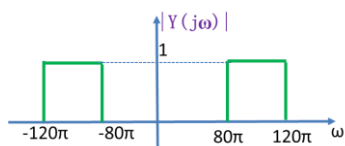
$$f(t) = \frac{2 \sin(2t)}{\pi t} \Leftrightarrow F(j\omega) = \frac{4}{\pi} \times \frac{\pi}{2} G_4(\omega) = 2G_4(\omega)$$



102、 频谱为  $F(j\omega) = G_{40\pi}(\omega)$  的信号  $f(t)$ ， 经过如图所示系统后，

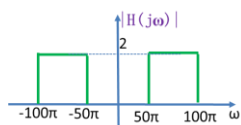


， 请画出输出信号  $y(t)$  的频谱

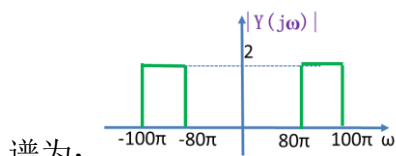


103、 信号  $f(t)$  的频谱如图所示，

， 其经过某幅频特性如图



， 相频特性  $\varphi(\omega) = 0$  的理想带通滤波器后， 输出信号的  $y(t)$  的频



谱为：

## s 域部分（含系统的基本概念）

1、 已知  $F(s) = \frac{e^{-(s-2)}}{s+2}$ ， 其原函数  $f(t) = \underline{e^2 e^{-2(t-1)} \varepsilon(t-1)}$  。

2、系统传递函数  $H(s) = \frac{K_p s}{s^2 + 2\alpha s + \omega_0^2}$ ，则使系统稳定的  $\alpha$  的取值范围为  $\alpha > 0$ 。

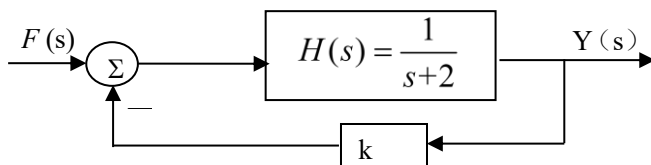
3、信号  $f(t) = \sin[\omega_0(t-2)]\varepsilon(t-2)$  的拉氏变换为  $-\frac{\omega_0}{s^2 + \omega_0^2} e^{-2s}$

4、若信号的单边拉氏变换为  $F(s) = \frac{2}{(s+3)^2}$ ，则  $f(t) = 2te^{-3t}\varepsilon(t)$

5、已知信号  $f(t) = t^n e^{-at}\varepsilon(t)$ ，其拉普拉斯变换和收敛域为  $F(s) = \frac{n!}{(s+a)^{n+1}} \quad \sigma > -a$ 。

6、 $F(s) = \frac{1-e^{-2s}}{s+1}$  的原函数为  $e^{-t}\varepsilon(t) - e^{-(t-2)}\varepsilon(t-2)$ 。

7、反馈系统构成如图。求使系统稳定（不包括临界稳定）的反馈系数  $k$  的取值范围。



$$Y(s) = (F(s) - k Y(s)) \cdot H(s)$$

$$\frac{Y(s)}{F(s)} = \frac{H(s)}{1+kH(s)} = \frac{1}{s+k+2}$$

$$\text{极点 } s = -k-2, \quad s < 0 \Rightarrow k > -2$$

8、若系统的输入  $f(t)$ 、输出  $y(t)$  满足  $y(t) = 4e^{3t} f(t)$ ，则系统为 线性的（线性的、非线性的）、时变的（时变的、时不变）、非稳定的（稳定的、非稳定的）。

9、若系统的输入  $f(t)$ 、输出  $y(t)$  满足  $y(t) = f(t)\cos(\omega_c t)$ ，则系统为 线性的（线性的、非线性的）、时变的（时变的、时不变）、稳定的（稳定的、非稳定的）。

10、若系统的输入  $f(t)$ 、输出  $y(t)$  满足  $y(t) = 4e^{-3t} f(t)$ ，则系统为 线性的（线性的、非线性的）、时变的（时变的、时不变）、稳定的（稳定的、非稳定的）。

11、系统的阶跃响应  $g(t) = \varepsilon(t) + t\varepsilon(t)$ ，该系统是 不稳定（稳定、不稳定）的。

12、若系统的输入  $f(t)$ 、输出  $y(t)$  满足  $y(t) = 4e^{-3t} f^2(t)$ ，则系统为 非线性的（线性的、非线性的）、时变的（时变的、时不变）、稳定的（稳定的、非稳定的）。

13、微分方程  $\frac{d^2 y(t)}{dt^2} + 4 \frac{dy(t)}{dt} + 4y(t) = f(t)$  描述的系统为 线性（线性、非线性）

14、时不变（时变、时不变）系统

15、 $e^{3t}\varepsilon(t)$  的单边拉普拉斯变换为  $\frac{1}{s-3}$ ，傅里叶变换为 不存在

16、某系统函数  $H(s) = \frac{s}{s^2 - 3s + 2}$ ，则该系统为\_\_\_不稳定\_\_\_（稳定、不稳定）系统，其

频响特性  $H(j\omega) =$ \_\_\_不存在\_\_\_。

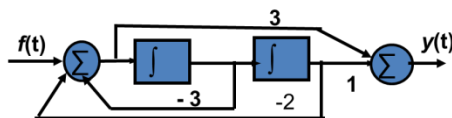
17、已知某 LTI 系统的冲激响应  $h(t) = 2e^{-t}\varepsilon(t)$ ，则系统对激励  $f(t) = \varepsilon(t)$  的零状态响应

为\_\_\_  $y_f(t) = 2(1 - e^{-t})\varepsilon(t)$  \_\_\_。

18、某 LTI 系统单位冲激响应  $h(t) = e^{-t}\varepsilon(t)$ ，若输入为  $f(t) = \varepsilon(t) - \varepsilon(t - 1)$ ，其零状态响应为：

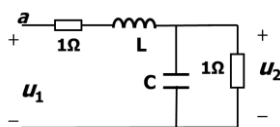
$$y_{zs}(t) = (1 - e^{-t})\varepsilon(t) - (1 - e^{-t+1})\varepsilon(t - 1)$$

19、冲激响应  $h(t) = \delta(t) + \varepsilon(t)$ ，阶跃响应  $g(t) =$   $\varepsilon(t) + t\varepsilon(t)$ ；系统为\_\_\_不稳定\_\_\_（稳定、不稳定）。



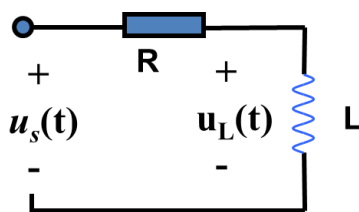
20、如图所示系统，

系统的微分方程为  $y''(t) + 3y'(t) + 2y(t) = 3f''(t) + f(t)$



21、如图所示电路中，电压比函数  $H(s) = \frac{U_2(s)}{U_1(s)}$ ，其极点在  $-2 \pm j2$ ，

C 和 L 分别为：\_\_\_ 0.5F, 0.5H \_\_\_



22、如图所示的电路中，电阻  $R=2$  欧姆， $L=20\text{mH}$ ，则

该系数属于\_\_\_(高通)\_\_\_滤波器，截止角频率为  $\omega_c=100\text{rad/s}$ 。

23、某电路的系统函数为  $H(s) = \frac{2s}{s^2 + 8s + 10000}$ ，则该电路的固有谐振频率为（100rad/s）和品质因数 Q 为（12.5）。

24、已知时间连续系统的系统函数有极点  $p_{1,2} = -\alpha \pm j\omega_0$ ，（ $\alpha, \omega_0$  均为正实数），零点  $z = 0$ ，该系统 为\_\_\_带通\_\_\_滤波器。

25、已知  $H(s) = \frac{1}{s+1}$ ； $y(0)=2$ ；激励  $f(t) = \sin(3t)\varepsilon(t)$ ，试求零输入响应  $y_x(t)$ 、零状态响应  $y_f(t)$ ，并指出瞬时响应  $y_{tr}(t)$  和稳态响应  $y_{ss}(t)$ 。

解：（1）  $y_x(t) = Ce^{-t}$ ，由  $y_x(0^+) = y(0) = 2$  得：  $C=2$ ，故：零输入响应为：



$$y_x(t) = 2e^{-t}, t \geq 0。$$

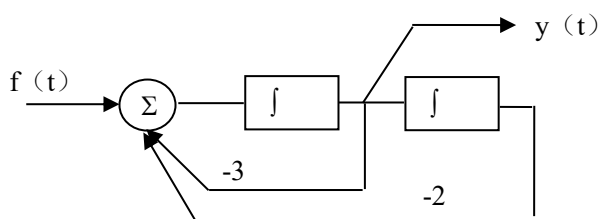
$$(2) \quad F(s) = \frac{3}{s^2 + 9}, \quad Y_f(s) = H(s) \cdot F(s)$$

$$Y_f(s) = \frac{1}{s+1} \frac{3}{s^2 + 9} = \frac{0.3}{s+1} + \frac{0.3(1-s)}{s^2 + 9} = \frac{0.3}{s+1} + 0.1 \frac{3}{s^2 + 9} - 0.3 \frac{s}{s^2 + 9}$$

$$y_f(t) = 0.3e^{-t}\varepsilon(t) + 0.1\sin(3t)\varepsilon(t) - 0.3\cos(3t)\varepsilon(t)$$

该系统为稳定系统，故：

$$y_{tr}(t) = 0.3e^{-t}\varepsilon(t), \quad y_{ss}(t) = 0.1\sin(3t)\varepsilon(t) - 0.3\cos(3t)\varepsilon(t)$$



26、系统结构如图所示，

，求其系统函

$$\text{数 } H(s) = \frac{s}{s^2 + 3s + 2}, \text{ 单位冲激响应 } \underline{h(t) = (-e^{-t} + 2e^{-2t})\varepsilon(t)}。$$

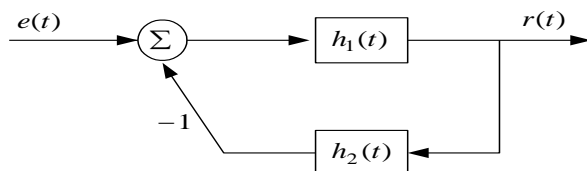
27、两线性时不变系统分别满足下列描述：

$$h_1(t): r_1'(t) + 2r_1(t) = e_1'(t) + 3e_1(t) \quad h_2(t): r_2'(t) + 3r_2(t) = ke_2(t)$$

$$\textcircled{1} \text{ 求 } H_1(s), H_2(s); \quad \underline{H_1(s) = \frac{s+3}{s+2}, \quad H_2(s) = \frac{k}{s+3}}$$

$$\textcircled{2} \text{ 两系统按图示方式组合，求组合系统的系统函数 } H(s); \quad \underline{H(s) = \frac{s+3}{s+2+k}}$$

$$\textcircled{3} \text{ } k \text{ 为何值时，系统 } H(s) \text{ 稳定? } \underline{k > -2}$$



$$28、\text{ 连续时间系统 } H(s) = H_0 \frac{s+3}{s^2 + 3s + 2}, \quad H_0 \text{ 为常数，已知 } sH(s)|_{s \rightarrow \infty} = 3,$$

$$\textcircled{1} \text{ 求 } H_0; \quad \underline{= 3}$$

$$\textcircled{2} \text{ 若给定激励 } (1 + e^{-3t})\varepsilon(t) \text{ 时，系统的完全响应为 } (\frac{9}{2} + 2e^{-t} - e^{-2t}) \quad t > 0, \text{ 求系统的}$$

$$\underline{\text{零输入响应 } (y_x(t) = y(t) - y_f(t) = 5e^{-t} + \frac{1}{2}e^{-2t}, t > 0) \text{ 、零状态响应}}$$

$$y_f(t) = \frac{9}{2}\varepsilon(t) - 3e^{-t}\varepsilon(t) - \frac{3}{2}e^{-2t}\varepsilon(t) \text{ 及系统起始状态 } y(0^-), y'(0^-)。$$

$$\therefore y(0^-) = y_x(0^+), \quad y'(0^-) = y'_x(0^+)$$

$$\therefore y(0^-) = 5.5, \quad y'(0^-) = -6$$

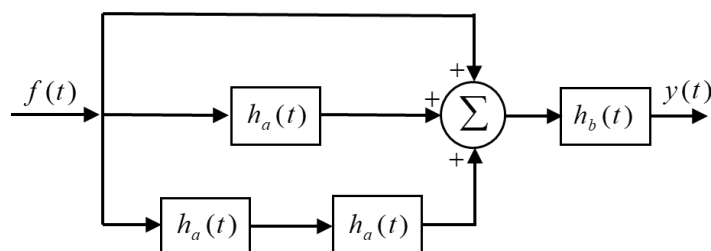
29、已知系统函数  $H(s) = \frac{s}{s^2 + 2s + 100}$ 。1) 画出其零、极点图并粗略画出其幅频特性曲线，指出系统的滤波特性。(带通滤波器) 极点:  $-1 \pm j\sqrt{99}$ ; 零点: 0。

30、已知  $H(s) = \frac{1}{s+1}$ ;  $y(0^-)=2$ ; 激励  $f(t) = \varepsilon(t)$ , 试求零输入响应  $y_x(t) = 2e^{-t}\varepsilon(t)$ 、零

状态响应  $y_f(t) = (1 - e^{-t})\varepsilon(t)$ 、瞬时响应  $y_{tr}(t) = e^{-t}\varepsilon(t)$ 、稳态响应  $y_{ss}(t) = \varepsilon(t)$ 。

如图所示系统，它由几个子系统组合而成，各个子系统的冲激响应分别为：

$h_a(t) = \delta(t-1), h_b(t) = e^{-t}\varepsilon(t)$ 。求复合系统的冲激响应  $h(t)$ 。



$$\text{解: } y_{zs}(t) = [f(t) + f(t) * h_a(t) + f(t) * h_a(t) * h_a(t)] * h_b(t)$$

$$\begin{aligned} h(t) &= [\delta(t) + h_a(t) + h_a(t) * h_a(t)] * h_b(t) \\ &= [\delta(t) + \delta(t-1) + \delta(t-1) * \delta(t-1)] * e^{-t}\varepsilon(t) \\ &= e^{-t}\varepsilon(t) + e^{-(t-1)}\varepsilon(t-1) + e^{-(t-2)}\varepsilon(t-2) \end{aligned}$$

$$\text{或者: } Y_{zs}(s) = [F(s) + F(s)H_a(s) + F(s)H_a(s)H_a(s)]H_b(s)$$

$$\begin{aligned} H(s) &= \frac{Y_{zs}(s)}{F(s)} = [1 + H_a(s) + H_a^2(s)]H_b(s) \\ &= (1 + e^{-s} + e^{-2s}) \frac{1}{s+1} \end{aligned}$$

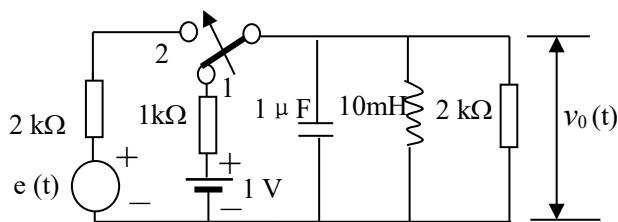
$$h(t) = e^{-t}\varepsilon(t) + e^{-(t-1)}\varepsilon(t-1) + e^{-(t-2)}\varepsilon(t-2)$$

31、已知 LTI 系统在输入  $e_1(t) = \varepsilon(t)$  作用下的全响应为  $y_1 = (6e^{-2t} - 5e^{-3t})\varepsilon(t)$ ; 在输入  $e_2(t) = 3\varepsilon(t)$  下的全响应为  $y_2 = (8e^{-2t} - 7e^{-3t})\varepsilon(t)$ 。系统的初始状态不变。求: 1) 系统的零输入响应  $y_0(t)$ ; 2) 当输入  $e_3(t) = 2\varepsilon(t)$  时的零状态响应  $y_{e3}(t)$ 。

$$y_0(t) = (5e^{-2t} - 4e^{-3t})\varepsilon(t); \quad y_{e3}(t) = (2e^{-2t} - 2e^{-3t})\varepsilon(t)$$

32、线性系统对激励  $f_1(t) = \varepsilon(t)$ 、起始状态  $y_1(0^-) = 2$  的完全响应为  $y_1(t) = (e^{-t} + 1)\varepsilon(t)$ ; 对激励  $f_2(t) = e^{-2t}\varepsilon(t)$ 、起始状态  $y_2(0^-) = 1$  的完全响应为  $y_2(t) = (2e^{-t} - e^{-2t})\varepsilon(t)$ 。

(3) 分别求  $e_1(t) = 0$ ,  $e_2(t) = 2 \cos(\omega_{01} t)$ ,  $\omega_{01} = 10 \text{ rad/s}$  时的输出信号  $v_0(t)$ 。

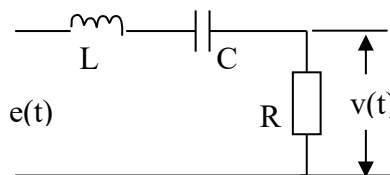
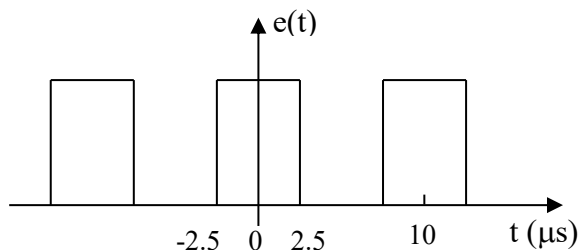


解：先求出  $U_C(0^-) = 0V$ ,  $I_L(0^-) = 1A$

$$H(s) = \frac{V_0(s)}{e(s)} = \frac{\frac{1}{sC} // sL // 2k}{2k + \frac{1}{sC} // sL // 2k}$$

可参考后面的几题

- 36、图示电路系统中  $R=10\Omega$ ,  $L=1/(200\pi)$  H,  $C=1/(200\pi)$   $\mu$ F。求, (1) 系统函数  $H(s)$ ; (2) 系统频率特性  $H(j\omega)$ , 粗略画出其幅频特性曲线, 指出系统的滤波特性 (低通、高通或带通等) 并说明系统的主要参数; (3) 图示对称矩形周期信号  $e(t)$  作用下该系统的响应  $v(t)$ 。(其中  $e(t)$  的最大幅度为 1)

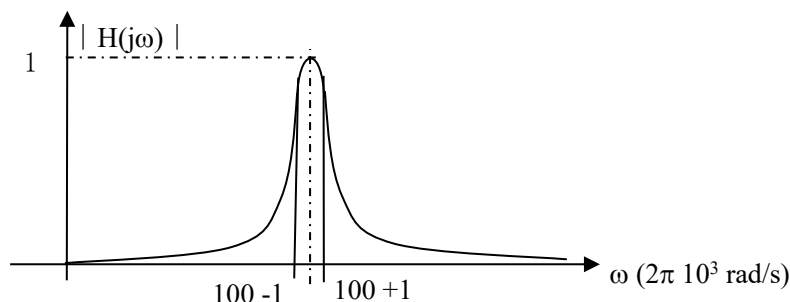


$$H(s) = \frac{R}{R + Ls + \frac{1}{sC}} = \frac{\frac{R}{L}s}{s^2 + \frac{R}{L}s + \frac{1}{LC}} = \frac{2\alpha s}{s^2 + 2\alpha s + \omega_0^2};$$

$$\alpha = \frac{R}{2L} = \frac{10}{2 \cdot \frac{1}{200\pi}} = 1000\pi, \quad \omega_0 = \sqrt{\frac{1}{LC}} = \sqrt{200\pi \cdot 200\pi \cdot 10^6} = 200\pi \cdot 10^3 (\text{rad/s})$$

$$H(j\omega) = \frac{2\alpha j\omega}{-\omega^2 + 2\alpha j\omega + \omega_0^2}; \quad Q = \frac{\omega_0}{2\alpha} = 100$$

这是一个品质因素  $Q$  很高的带通滤波器, 其幅频特性曲线如图所示:



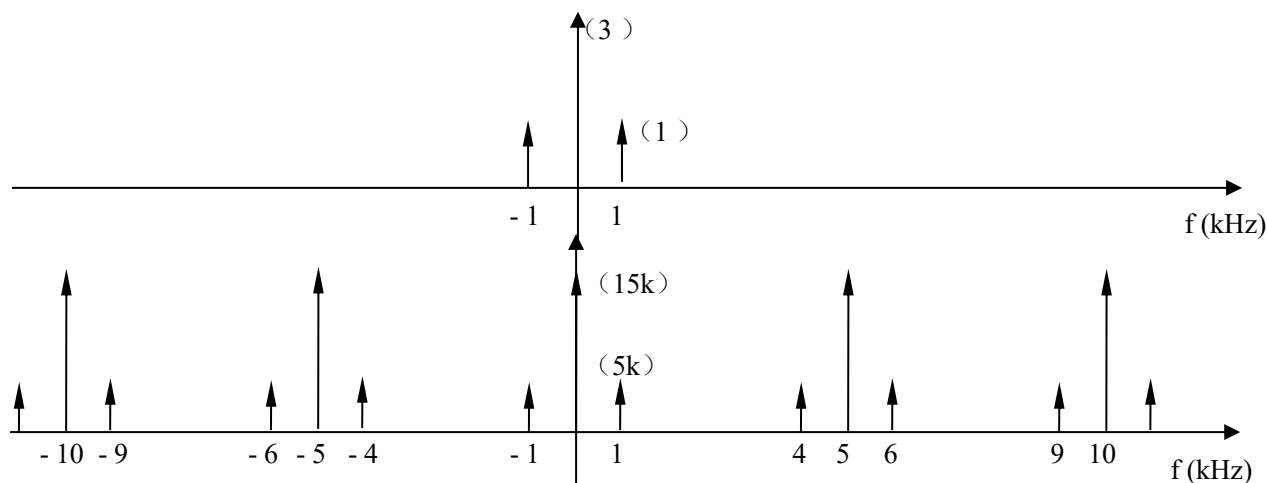
另一方面, 图示对称矩形周期信号  $e(t) = 1/2 + 2/\pi [\cos(2\pi 10^5 t) - 1/3 \cos(6\pi 10^5 t) + 1/5 \cos(10\pi 10^5 t) - \dots]$ 。其中只有基波信号能够通过题中的滤波器, 直流分量以及高次

谐波的响应均可认为是零，而  $H(j\omega)|_{\omega=\omega_0}=1$  因此  $y(t) \approx 2/\pi \cos(2\pi 10^5 t)$  (V)。

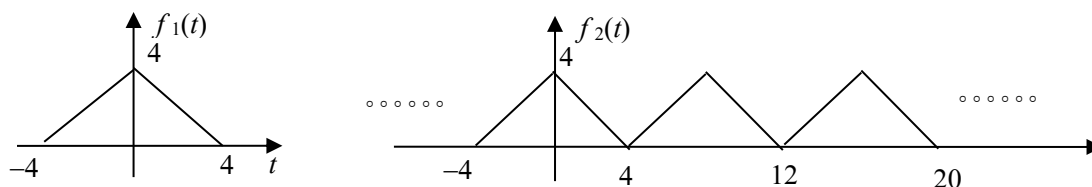
- 37、已知系统函数  $H(s) = \frac{s}{s^2 + 2s + 2}$ , (1) 画出其零极点图; (2) 大致画出其幅频和相频曲线; (3) 求系统在激励  $f(t) = 10\cos(t) \cdot \varepsilon(t)$  作用下的稳态响应  $y_{ss}(t)$ 。

解: 直接写出  $H(j\omega)$ ; 令  $\omega=1$ ,  $H(1) = \frac{j}{-1+2j+2} = \frac{1}{\sqrt{5}} \angle \frac{\pi}{2} - \arctan 2$ , 直接写  $y_{ss}$

- 38、用  $f_s = 5$  kHz 的周期单位冲激函数序列对有限频带信号  $f(t) = 3 + 2 \cos(2\pi f_1 t)$ ,  $f_1 = 1$  kHz, 进行取样。(1) 画出  $f(t)$  以及取样信号  $f_s(t)$  在频率区间  $(-10 \text{ kHz}, 10 \text{ kHz})$  的频谱图; (2) 若由  $f_s(t)$  恢复  $f(t)$ , 理想低通滤波器的截止频率  $f_c$  应如何确定?  $4 \text{ kHz} > f_c > 1 \text{ kHz}$

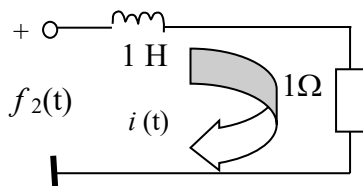


- 39、信号  $f_1(t)$ 、 $f_2(t)$  如图所示。求  $F_1(j\omega)$  和  $F_2(j\omega)$ 、大致画出频谱图并进行比较。



$$F_1(j\omega) = 16Sa^2(2\omega) \quad F_2(j\omega) = 2\pi \sum_{k=-\infty}^{+\infty} 2Sa^2\left(\frac{\pi}{2}k\right) \delta\left(\omega - k\frac{\pi}{4}\right)$$

- 40、写出上题中  $f_2(t)$  的指数和三角形式的傅立叶级数表达式。若将  $f_2(t)$  作为电压源作用于图示 RL 电路，试求电流  $i(t)$  的前 3 次谐波分量。



$$f_2(t) = \sum_{k=-\infty}^{+\infty} 2Sa^2\left(\frac{\pi}{2}k\right) e^{jk\frac{\pi}{4}t} = 2 + \sum_{k=1}^{+\infty} 4Sa^2\left(\frac{\pi}{2}k\right) \cos\left(k\frac{\pi}{4}t\right)$$

$$H(j\omega) = \frac{1}{1+j\omega}; \omega = 0; H(j\omega) = 1$$

$$\omega = \frac{\pi}{4}; H(j\omega) = \frac{1}{1 + j0.25\pi} = 0.79 \angle -38^\circ$$

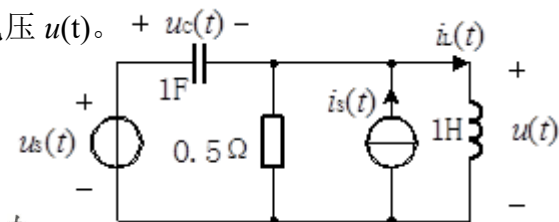
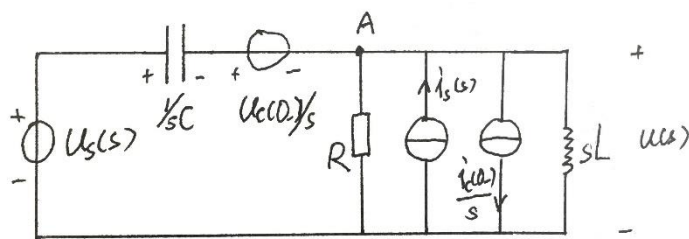
$$\omega = \frac{3\pi}{4}; H(j\omega) = \frac{1}{1 + j0.75\pi} = 0.39 \angle -67^\circ$$

$$\therefore i(t) \text{ 的前 3 次谐波分量为 } 2 + 1.28 \cos\left(\frac{\pi}{4}t - 38^\circ\right) + 0.14 \cos\left(\frac{3\pi}{4}t - 67^\circ\right)$$

41、已知  $u_s(t) = \varepsilon(t)$ ， $i_s(t) = \delta(t)$ ， $u_C(0^-) = 1V$ ， $i_L(0^-) = 2A$ 。

求 (1) 画出电路的 S 域模型；(2) 求电感两端电压  $u(t)$ 。

解：(1) 电路的 s 域模型为：



$$(2) \text{ 以 A 为参考节点, 得: } (sC + 1/R + 1/sL)u_A = \frac{u_s(s) - 1/s}{1/sC} + i_s(s) - \frac{2}{s}$$

$$\text{带入已知条件可解得: } u_A(t) = (e^{-t} - 3te^{-t})\varepsilon(t)$$

$$\therefore u(t) = u_A(t) = (e^{-t} - 3te^{-t})\varepsilon(t)$$

42、有一 LTI 系统对激励  $f(t) = \varepsilon(t)$  的完全响应为  $y(t) = 2e^{-t}\varepsilon(t)$ ，对激励  $f(t) = \delta(t)$  的完全响应为  $y(t) = \delta(t)$ 。系统的初始状态不变的情况下，求系统的冲激响应  $h(t)$  和零输入响应  $y_{zi}(t)$ 。

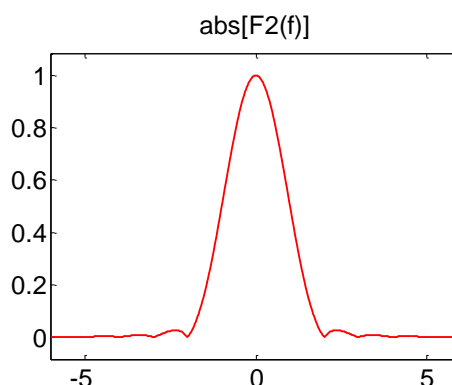
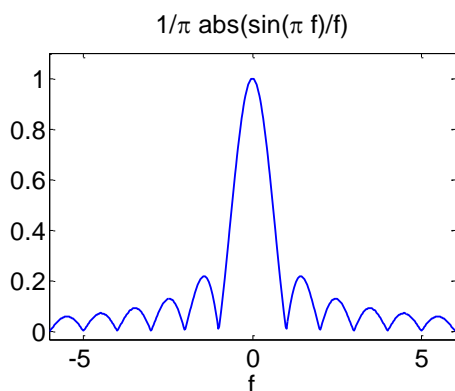
$$h(t) = \delta(t) - e^{-t}\varepsilon(t)$$

$$y_{zi} = e^{-t}\varepsilon(t)$$

43、现有矩形脉冲和升余弦脉冲  $f_1(t) = g_\tau(t)$ 、 $f_2(t) = (1 + \cos(2\pi t/\tau))g_\tau(t)$ 。分别求两个信号的傅立叶变换并进行比较。

$$F_1(j2\pi f) = \tau \text{Sa}(\pi f \tau) = \tau \text{sinc}(f \tau)$$

$$F_2(j\omega) = F_1(j2\pi f) + 0.5 F_1[j2\pi(f - 1/\tau)] + 0.5 F_1[j2\pi(f + 1/\tau)]$$



44、用宽  $\tau=20$  的门信号  $g_\tau(t)$  对抽样信号  $\text{Sa}(t)$  进行截断得到  $f(t) = \text{Sa}(t) g_\tau(t)$ 。求

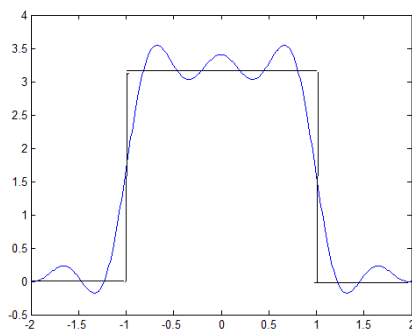
信号截断前后，即  $Sa(t)$  和  $Sa(t)g_\tau(t)$ ，的傅立叶变换并加以比较（画图比较），讨论截断长度  $\tau$  对截断信号频谱的影响。

解：  $\because Sa(t) \leftrightarrow \pi G_2(\omega) \quad G_\tau(t) \leftrightarrow \tau Sa(\frac{\omega\tau}{2})$

$$\therefore f(t) = G_\tau(t)Sa(t) \leftrightarrow F(\omega) = \frac{1}{2\pi} \tau Sa(\frac{\omega\tau}{2}) * \pi G_2(\omega)$$

$$\begin{aligned} F(\omega) &= \frac{\tau}{2} Sa(\frac{\omega\tau}{2}) * [\varepsilon(\omega+1) - \varepsilon(\omega-1)] = \frac{\tau}{2} \int_{-\infty}^{\infty} Sa(\frac{\lambda\tau}{2}) [\varepsilon(\omega-\lambda+1) - \varepsilon(\omega-\lambda-1)] d\lambda \\ &= \frac{\tau}{2} \int_{\omega-1}^{\omega+1} Sa(\frac{\lambda\tau}{2}) d\lambda = \frac{\tau}{2} \left( Si(\frac{\omega+1}{2}\tau) - Si(\frac{\omega-1}{2}\tau) \right) \end{aligned}$$

$$\tau=20, \quad F(\omega) = 10(Si(10(\omega+1)) - Si(10(\omega-1)))。$$

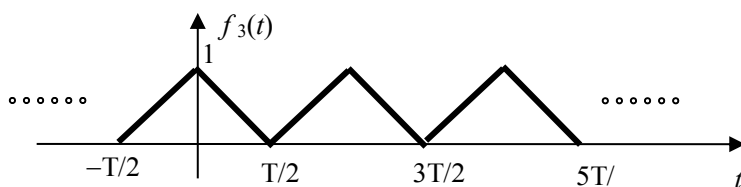


讨论：  $\tau$  越大，  $Sa(\frac{\omega\tau}{2})$  的主零点越接近 0， 有效带宽越窄，  $F(\omega)$  的能量在  $(-1, 1)$

越集中， 频谱泄露越少，  $F(\omega)$  的频谱越接近  $\pi G_2(\omega)$ 。

45、 已知系统函数  $H(s) = \frac{s}{(s+400\pi)(s+8000\pi)}$ 。求：（1）零、极点分布图；（2）大致画出

幅频特性曲线和相频特性曲线；（3）在激励  $f_1(t)=2\sin(20\pi t)+\cos(25\pi t)$  作用下的系统响应；（4）在激励  $f_2(t)=2\sin(1000\pi t)+\cos(2000\pi t)$  作用下的系统响应；（5）若激励为下图所示三角波信号 ( $T=0.1$  s)，大致画出系统响应的波形。



解：极点 2 个，零点 1 个

带通滤波器，判断信号的频率是否在通带范围内，如果在，就根据增益和相位给出结果；如果不在，就为 0。

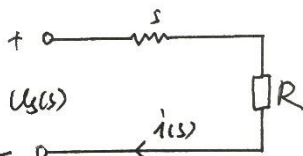
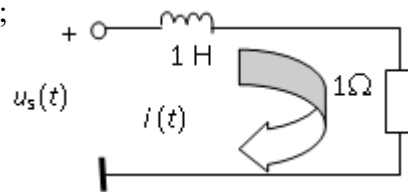
写出周期三角波信号的傅里叶变换，再判断

46、电路如图。

(1) 以  $u_s(t)$  为输入、 $i(t)$  为输出的频响特性  $H(j\omega)$ ;

(2) 设激励电压  $u_s(t) = \sum_{n=-\infty}^{+\infty} 2Sa^2\left(\frac{\pi}{2}n\right)e^{jn\frac{\pi}{4}}$ 。试求

$i(t)$  的频率和其直流、一次、二次谐波分量。



解: (1) 画出电路的  $s$  域模型

$$i(s) = \frac{u_s(s)}{s + R}, \text{ 于是可得 } H(j\omega) = \frac{1}{j\omega + 1}$$

(2) 由  $u_s(t) = \sum_{n=-\infty}^{\infty} 2Sa^2(n\pi/2) \cdot e^{jn\pi/4}$  易得:  $u_s(t) = 2 + \frac{16}{\pi^2} \cos(\pi t/4) + 0 + \dots$

于是  $u_s(t)$  的直流、一次、二次谐波分别为 2、 $\frac{16}{\pi^2} \cos(\pi t/4)$ 、0。

当  $\omega = 0$  时,  $H(j\omega) = 1$ , 即增益为 1,  $\varphi = 0$ ;

当  $\omega = \pi/4$  时,  $H(j\omega) = \frac{1}{j\pi/4 + 1}$ , 即增益为  $\frac{1}{\sqrt{1 + \pi^2/16}}$ ,  $\varphi = \arctan(\pi/4)$ ;

$\therefore i(t)$  的直流、一次、二次谐波分别为 2、 $\frac{16}{\pi^2} \frac{1}{\sqrt{1 + \pi^2/16}} \cos(\pi t/4 + \arctan(\pi/4))$ 、0;

于是可知  $i(t)$  的频率为一次谐波频率为  $\frac{1}{8}$ 。

47、某连续时间系统的系统函数  $H(s) = \frac{3(s+3)}{s^2 + 3s + 2}$ , 若给定激励  $(1 + e^{-3t})\varepsilon(t)$  时, 系

统的完全响应为  $(\frac{9}{2} + 2e^{-t} - e^{-2t}) \quad t > 0$ , 求系统的零状态响应、零输入响应及系统起始状态  $y(0^-)$ ,  $y'(0^-)$ 。

解:  $f(t) = (1 + e^{-3t})\varepsilon(t) \leftrightarrow F(s) = \frac{1}{s} + \frac{1}{s+3} = \frac{2s+3}{s(s+3)}$

$$\therefore Y_f(s) = H(s)F(s) = \frac{3(s+3)}{s^2 + 3s + 2} \cdot \frac{2s+3}{s(s+3)} = \frac{3(2s+3)}{s(s+1)(s+2)} = \frac{9/2}{s} + \frac{-3}{s+1} + \frac{-3/2}{s+2}$$

零状态响应:  $y_f(t) = \frac{9}{2}\varepsilon(t) - 3e^{-t}\varepsilon(t) - \frac{3}{2}e^{-2t}\varepsilon(t)$



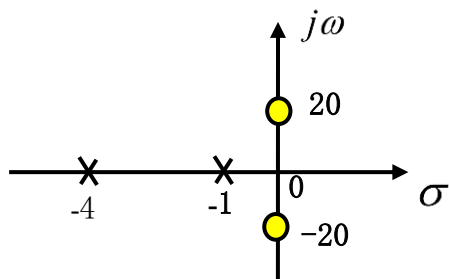
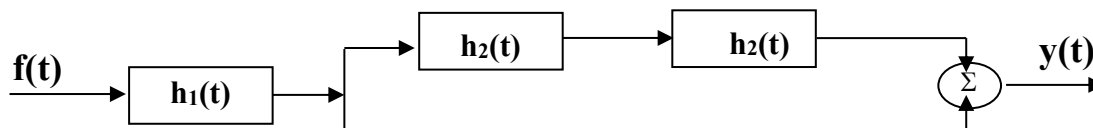
零输入响应:  $y_x(t) = y(t) - y_f(t) = 5e^{-t} + \frac{1}{2}e^{-2t}, t > 0$

$$\because y(0^-) = y_x(0^+), \quad y'(0^-) = y_x'(0^+)$$

$$\therefore y(0^-) = 5.5, \quad y'(0^-) = -6$$

48、 如图所示, 已知  $h_1(t) = \delta(t)$ ;  $h_2(t) = -\delta(t) + 6e^{-3t}\varepsilon(t)$ 。求: 1) 系统函数

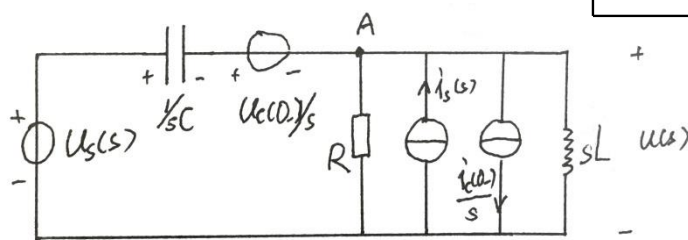
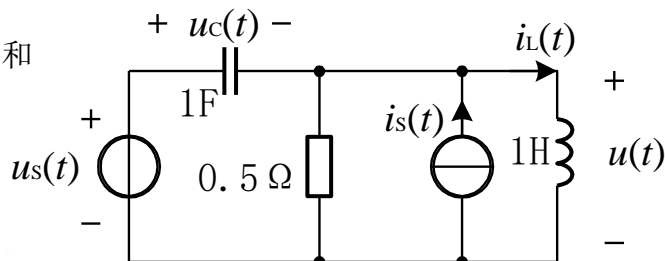
$H(s)$ ; 2) 画出  $H(s)$  的零极点分布图; 3) 粗略画出系统的幅频、相频响应特性曲线, 指出其滤波特性。



49、 如图, 已知  $u_s(t) = \varepsilon(t)$ ,  $i_s(t) = \delta(t)$ ,  $u_C(0^-) = 1V$ ,  $i_L(0^-) = 2A$ 。

求: (1) 画出电路的 S 域模型;

(2) 求电感两端电压零输入响应  $u_x(t)$  和零状态响应  $u_f(t)$ 。



(2) 以 A 为参考节点, 得:

$$(sC + 1/R + 1/sL)u_A = \frac{u_s(s) - u_c(0^-)/s}{1/sC} + i_s(s) - \frac{i_L(0^-)}{s}$$

与独立电压源、电流源有关的为零状态响应、即:

$$U_{Af}(S) = \frac{scU_s(S) + I_s(S)}{SC + 1/R + 1/SL} = \frac{1+1}{S+2+1/S} = \frac{2s}{S^2 + 2S + 1}$$

$$\therefore u_{Af}(t) = (2e^{-t} - 2te^{-t})\varepsilon(t)$$

与初始状态有关的为零输入响应、即：

$$U_{Ax}(S) = \frac{-cu_c(0_-) + i_s(0_-)/s}{SC + 1/R + 1/SL} = \frac{-1 - 2/s}{S + 2 + 1/S} = -\frac{s + 2}{S^2 + 2S + 1}$$

$$u_{Ax}(t) = [-(e^{-t} - te^{-t}) - 2te^{-t}] \varepsilon(t) = -e^{-t} - te^{-t}, \quad t > 0$$

$$\therefore \text{电感两端电压为 } u(t) = e^{-t} - 3te^{-t} \quad t > 0$$

50、如图，求  $u(t)$ 。已知：  $u_s(t) = 10 + 10\cos(t)$ 、 $i_s(t) = 5 + 5\cos(2t)$ 。

（提示：利用叠加定理）

解：当电流源单独作用时，等效电路为：

$$U_1(j\omega) = I_s(j\omega) \cdot R_1(j\omega)$$

$$= I_s(j\omega) \cdot \left( \frac{R \cdot \frac{1}{j\omega C}}{R + \frac{1}{j\omega C}} + \frac{R \cdot j\omega L}{R + j\omega L} \right)$$

$$H_1(j\omega) = \frac{U_1(j\omega)}{I_s(j\omega)} = \frac{2}{j\omega + 1} + \frac{2j\omega}{j\omega + 2}$$

当电压源单独作用时，等效电路为：

$$U_a(j\omega) = \frac{R}{R + 1/j\omega C} U_s(j\omega) = \frac{j\omega}{j\omega + 1} U_s(j\omega)$$

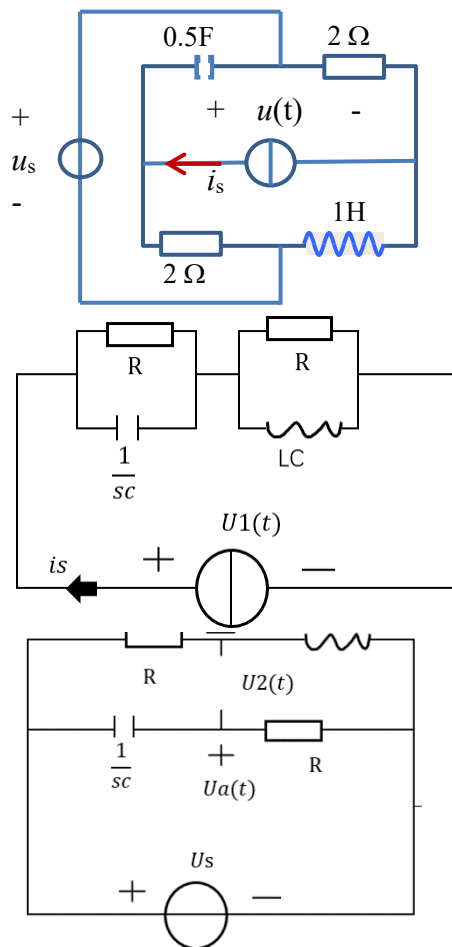
$$U_b(j\omega) = \frac{j\omega L}{R + j\omega L} U_s(j\omega) = \frac{j\omega}{j\omega + 2} U_s(j\omega)$$

$$U_2(j\omega) = U_a(j\omega) - U_b(j\omega) = \left( \frac{j\omega}{j\omega + 1} - \frac{j\omega}{j\omega + 2} \right) U_s(j\omega)$$

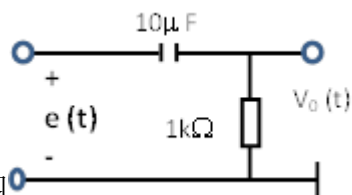
$$H_2(j\omega) = \frac{U_2(j\omega)}{U_s(j\omega)} = \frac{j\omega}{j\omega + 1} - \frac{j\omega}{j\omega + 2}$$

$$U(j\omega) = H_1(j\omega) I_s(j\omega) + H_2(j\omega) U_s(j\omega)$$

$$U(t) = 10 + 5\sqrt{2} \cos(2t + 8.13^\circ) + 10\sqrt{1/10} \cos(t + 18.43^\circ)$$

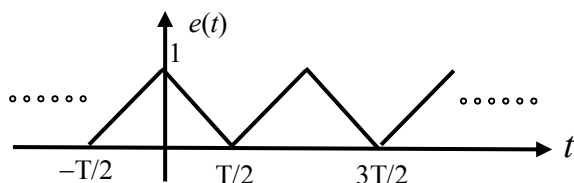


51、电路如图

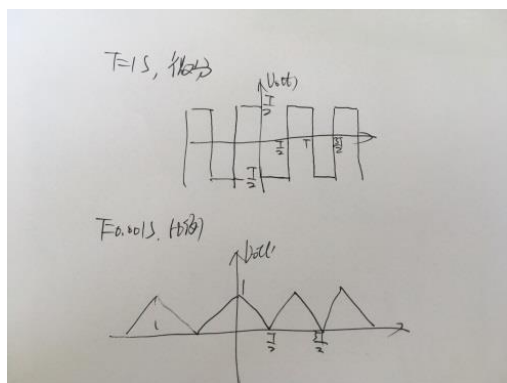
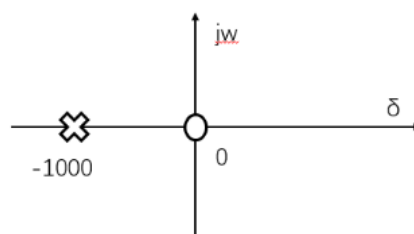


(1) 求系统函数  $H(s) = \frac{V_o(s)}{E(s)}$ ，画出其零、极点分布图；

- (2) 大致画出幅频、相频特性。指出电路属何种滤波器、确定其截止角频率 $\omega_c$ 。
- (3) 当 $e(t) = 2 + \cos(100t)$ 时电路的输出 $V_o(t)$ ;
- (4) 设 $e(t)$ 为右图所示三角波信号，大致画出当 $T = 1\text{ s}$ 和 $T = 0.001\text{ s}$ 时 $U_o(t)$ 的波形。



解: (1) 
$$H(s) = \frac{V_o(s)}{E(s)} = \frac{R}{R + \frac{1}{sC}} = \frac{s}{s + 100}$$



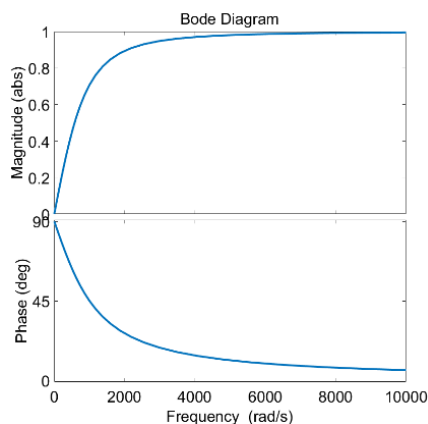
(2)

(3)  $|H(j\omega_c)| = 1/\sqrt{2} \Rightarrow \omega_c = 100$

$$H(j\omega) = H(s)|_{s=j\omega} = \frac{j\omega}{j\omega + 100}$$

$$H(j100) = \frac{j100}{j100 + 100} = \frac{1+j}{2} = \frac{\sqrt{2}}{2} \angle 45^\circ$$

$$V_o(t) = \frac{\sqrt{2}}{2} \cos(100t + \frac{\pi}{4})$$



(4)  $T = 1\text{ s}$ , 基波角频率为 $2\pi$ , 远小于截止频率系统输出大约原信号的微分波形再除以 100;  $T = 0.001\text{ s}$ 时, 基波角频率为 $2000\pi$ , 远大于截止频率, 系统输出波形基本与输入波形一致。

52、描述某连续系统的方程为 $y''(t) + 3y'(t) + 2y(t) = f'(t) + 2f(t)$ , 已知当激励信号 $f(t) = 2\varepsilon(t)$ 时,  $y(0_-) = 2, y'(0_-) = -3$ 。请写出系统的暂态解 $y_{tr}(t)$ 和稳态解 $y_{ss}(t)$ ;

解: 方程两边进行拉氏变换,

$$s^2Y(s) - sy(0_-) - y'(0_-) + 3sY(s) - 3y(0_-) + 2Y(s) = sF(s) + 2F(s)$$

$$\text{整理得: } (s^2 + 3s + 2)Y(s) = (s + 2)F(s) + sy(0_-) + y'(0_-) + 3y(0_-)$$

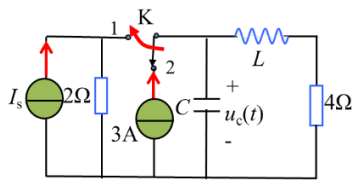
$$Y_{zs}(s) = \frac{(s+2)F(s)}{s^2+3s+2} = \frac{(s+2) \cdot \frac{2}{s}}{s^2+3s+2} = \frac{2}{s(s+1)} = \frac{2}{s} - \frac{2}{s+1}$$

$$Y_{zi}(s) = \frac{sy(0_-) + y'(0_-) + 3y(0_-)}{s^2+3s+2} = \frac{2s+3}{(s+1)(s+2)} = \frac{1}{s+1} + \frac{1}{s+2}$$

所以有  $y_{zs}(t) = (2 - 2e^{-t})\varepsilon(t)$ ;  $y_{zi}(t) = (e^{-t} + e^{-2t})\varepsilon(t)$

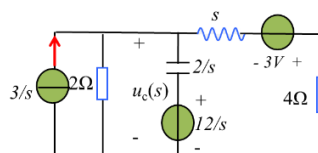
有  $y_{ss}(t) = 2\varepsilon(t)$ ;  $y_{tr}(t) = (-e^{-t} + e^{-2t})\varepsilon(t)$

53、如图电路，

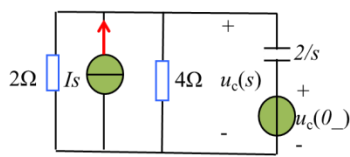


开关在  $t > 0$  时刻从 2 切换到 1, 已知  $C = 0.5F$ ,

$L = 1H$ ,  $I_s = 3\varepsilon(t) A$ , 请画出电路的  $s$  域模型;



54、如图所示电路中，



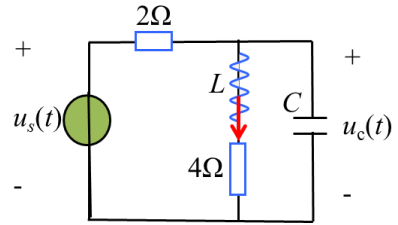
，已知  $C = 0.5F$ , 输入信号  $I_s =$

$3\varepsilon(t) A$ , 电容电压的初始值  $u_c(0_-) = 12V$ , 则电容电压  $U_c(t)$  的零状态响应为:

【 $u_{czs} = (4 - 4e^{-1.5t})\varepsilon(t)$ 】，电容电压  $U_c(t)$  的零输入响应为: 【 $u_{czi} =$

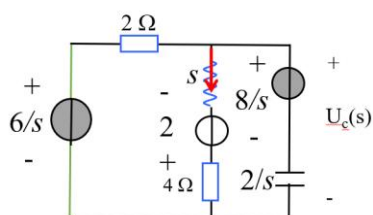
$12e^{-1.5t}\varepsilon(t)$ 】。

55、如图所示电路中，



，已知  $C = 0.5F$ ,  $L = 1H$ , 输入信号  $u_s(t) = 6\varepsilon(t) V$ , 电容电压的初始值  $u_c(0_-) = 8V$ , 电感电流的初始值  $i_L(0_-) = 2A$ 。(1) 画出电路的  $S$  域模型; (2) 写出电容两端电压  $u_c(t)$  的零输入响应; (3) 写出电容两端电压  $u_c(t)$  的零状态响应。

解: (1) 初始状态都表示成电压源, 也可以画成电流源形式, 仅供参考。



(2) 列写方程，其中，蓝色部分表示初始状态，与它们有关的解就是零输入响应

$$\frac{6/s - Uc(s)}{2} = \frac{Uc(s) + 2}{s+4} + \frac{Uc(s) - 8/s}{2/s}$$

$$\frac{3}{s} + 4 - \frac{1}{s+4} = \left(\frac{1}{s+4} + \frac{s}{2} + \frac{1}{2}\right)Uc(s)$$

$$\frac{3}{s} + 4 - \frac{1}{s+4} = \frac{(s+2)(s+3)}{2(s+4)}Uc(s)$$

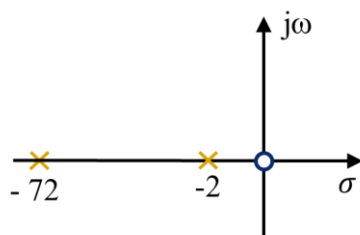
$$Uc(s)_{zs} = \frac{\frac{3}{s} \times 2(s+4)}{(s+2)(s+3)} = \frac{4}{s} + \frac{-6}{s+2} + \frac{2}{s+3}$$

$$Uc(s)_{zi} = \frac{4 - \frac{1}{s+4}}{(s+2)(s+3)} = \frac{12}{s+2} + \frac{-4}{s+3}$$

反变换得到：

$$Uc(t)_{zs} = (4 - 6e^{-2t} + 2e^{-3t})\varepsilon(t)V$$

$$Uc(t)_{zi} = (12e^{-2t} - 4e^{-3t})\varepsilon(t)V$$



56、某系统函数的零极点分布如图所示，

，已知

$$sH(s)\big|_{s \rightarrow \infty} = 7.4,$$

(1) 写出 $H(s)$ 表达式；

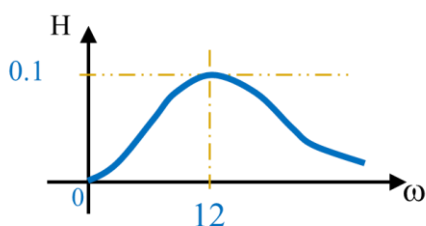
(2) 大致画出 $H(j\omega)$ 的幅频特性，并指出滤波器类型；

(3) 写出信号 $f(t) = 2\cos(12t + \pi/4)$ 通过该系统后的输出 $y_1(t)$ ；

(4) 写出信号 $f(t) = 2\cos(500t + \pi/6)$ 通过该系统后的大致输出 $y_2(t)$ 。

$$\text{解：(1) } H(s) = \frac{7.4s}{(s+2)(s+72)} = \frac{7.4s}{s^2 + 74s + 144}$$

(2) 带通滤波器



$$(3) H(j\omega) = \frac{7.4j\omega}{-\omega^2 + 74j\omega + 144}$$

$$H(j12) = \frac{j12 \times 7.4}{-144 + j12 \times 74 + 144} = 0.1 \quad \text{即增益为 } 1。$$

$$\text{所以 } y_1(t) = 0.2 \cos(12t + \pi/4)$$

$$(4) H(j500) = \frac{j500 \times 7.4}{-500^2 + j500 \times 74 + 144} \approx 0, \quad \text{可近似认为信号衰减严重, 输出为 } 0;$$

也可大概写出一个表达式。

**57、** 已知连续时间系统  $y''(t) + 3y'(t) + 2y(t) = f'(t) + f(t)$ , 初始状态  $y(0_-) = 1$ ,  $y'(0_-) = -3$ 。当激励信号  $f(t) = \varepsilon(t)$  时, 求全响应, 并指出暂态响应和稳态响应。

**解:** 解法一: 时域方法

$$\text{特征方程 } \lambda^2 + 3\lambda + 2 = 0 \Rightarrow \lambda_1 = -1, \lambda_2 = -2$$

$$\text{齐次解: } y_h(t) = c_1 e^{-t} + c_2 e^{-2t};$$

$$\text{特解: } y_p(t) = P \quad \text{代入原方程得到 } 2P = 1 \Rightarrow P = 0.5$$

$$\text{系统的全解 } y(t) = y_h(t) + y_p(t) = c_1 e^{-t} + c_2 e^{-2t} + 0.5 \quad t > 0$$

由于方程右边  $= \delta(t) + \varepsilon(t)$ , 所以  $y''(t)$  含有  $\delta(t)$ , 所以

$$y'(0_+) = y'(0_-) + 1 = -2; y(0_+) = y(0_-) = 1, \quad \text{即} \begin{cases} c_1 + c_2 + 0.5 = 1 \\ -c_1 - 2c_2 = -2 \end{cases} \Rightarrow \begin{cases} c_1 = -1 \\ c_2 = 1.5 \end{cases}$$

$$\text{所以 } y(t) = -e^{-t} + 1.5e^{-2t} + 0.5 \quad t > 0$$

$$\text{其中, 稳态响应 } y_{ss}(t) = 0.5 \quad t > 0; \text{ 暂态响应 } y_{tr}(t) = -e^{-t} + 1.5e^{-2t} \quad t > 0$$

解法二: S 域方法

方程两边进行拉氏变换,

$$s^2 Y(s) - sy(0_-) - y'(0_-) + 3sY(s) - 3y(0_-) + 2Y(s) = sF(s) + F(s)$$

$$\text{整理得: } (s^2 + 3s + 2)Y(s) = (s+1)F(s) + sy(0_-) + y'(0_-) + 3y(0_-)$$

$$Y_{zs}(s) = \frac{(s+1)F(s)}{s^2 + 3s + 2} = \frac{(s+1) \cdot \frac{1}{s}}{s^2 + 3s + 2} = \frac{1}{s(s+2)} = \frac{0.5}{s} - \frac{0.5}{s+2}$$

$$Y_{zi}(s) = \frac{sy(0_-) + y'(0_-) + 3y(0_-)}{s^2 + 3s + 2} = \frac{s}{(s+1)(s+2)} = \frac{-1}{s+1} + \frac{2}{s+2}$$

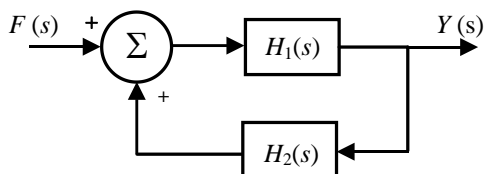
所以有  $y_{zs}(t) = (0.5 - 0.5e^{-2t})\varepsilon(t)$ ;  $y_{zi}(t) = (-e^{-t} + 2e^{-2t})\varepsilon(t)$

有  $y_{ss}(t) = 0.5\varepsilon(t)$ ;  $y_{tr}(t) = (-e^{-t} + 1.5e^{-2t})\varepsilon(t)$

58、求如图所示复合系统，其中子系统  $H_1(s) = \frac{1}{s+2}$ ,  $H_2(s) = \frac{3}{s+4}$

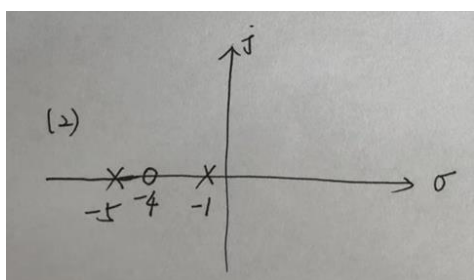
(1) 求系统函数  $H(s)$ ;

(2) 画出其零极点分布图。

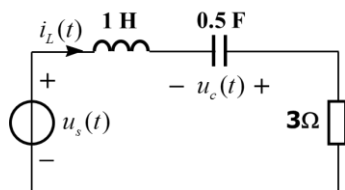


解:  $[F(s) + Y(s) \cdot H_2(s)]H_1(s) = Y(s)$

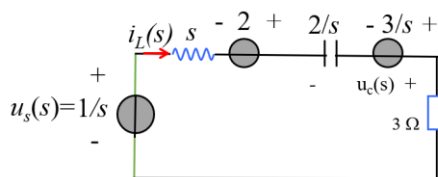
$$H(s) = \frac{Y(s)}{F(s)} = \frac{H_1(s)}{1 - H_1(s)H_2(s)} = \frac{s+4}{s^2 + 6s + 5}$$



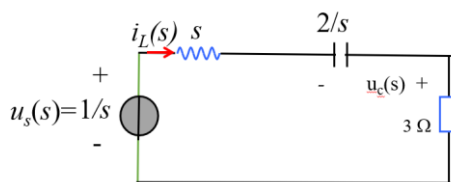
59、如图所示的电路，已知输入信号  $u_s(t) = \varepsilon(t)$  V，电容电压的初始值  $u_c(0_-) = 3$  V，电感电流的初始值  $i_L(0_-) = 2$  A，（电压电流方向如图所示）（1）画出电路的 S 域模型；（2）写出电容两端电压  $u_c(t)$  的零状态响应。



解: (1) S 域模型，也可画成电流源形式



(2) 没有初始状态时的电路如图

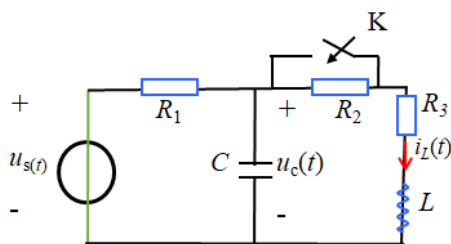


$$\frac{u_s(s) + u_c(s)}{s+3} = \frac{-u_c(s)}{2/s} \Rightarrow u_c(s) = \frac{-2}{s(s+1)(s+2)} = \frac{-1}{s} + \frac{2}{s+1} + \frac{-1}{s+2}$$

所以有  $u_c$  的零状态响应为:  $u_c(t)_{zs} = (-1 + 2e^{-t} - e^{-2t})\varepsilon(t)V$

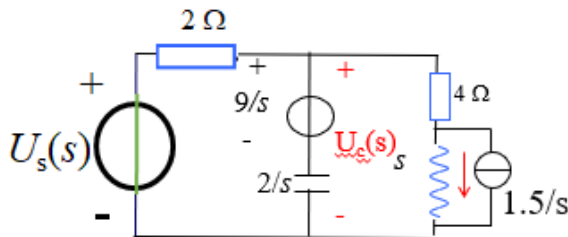
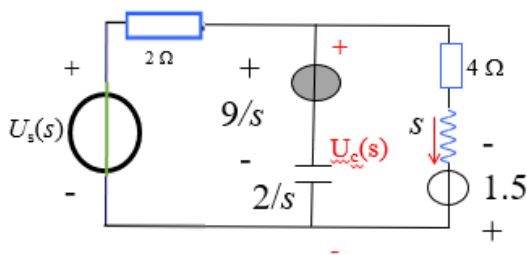
60、 如图所示电路中, 已知  $u_s(t)=12V$ 、 $R_1=R_2=2\Omega$ 、 $R_3=4\Omega$ 、 $C=0.5F$ 、 $L=1H$ 。

在  $t=0$  时刻, 开关闭合。闭合前, 电路处于稳态。(1) 求开关切换时, 电容两端的电压初始值  $u_c(0_-)$ 、电感电流初始值  $i_L(0_-)$ ; (2) 画出开关切换后电路的 S 域模型; (3)  $u_s(t)$  为激励,  $u_c(t)$  为响应, 求系统函数  $H(s)$ ; (4) 求电容两端电压  $u_c(t)$  的零输入响应。



解: (1)  $i_L(0_-) = \frac{u_s}{R_1 + R_2 + R_3} = 1.5(A)$ ,  $u_c(0_-) = (R_2 + R_3)i_L(0_-) = 9(V)$

(2) 开关切换后电路的 S 域模型为下图示之一或其他相应类型的等效模型



$$(3) H(s) = \frac{U_{czs}(s)}{U_s(s)} = \frac{(4+s) \parallel \frac{2}{s}}{(4+s) \parallel \frac{2}{s} + 2} = \frac{s+4}{s^2+5s+6}$$

$$(4) u_c(t) \text{ 的零输入响应: } U_{czi}(s) \left( \frac{1}{2} + \frac{s}{2} + \frac{1}{4+s} \right) = \frac{9/s}{2/s} - \frac{1.5}{4+s},$$

$$U_{czi}(s) = \frac{9s+33}{s^2+5s+6} = \frac{15}{s+2} - \frac{6}{s+3}$$



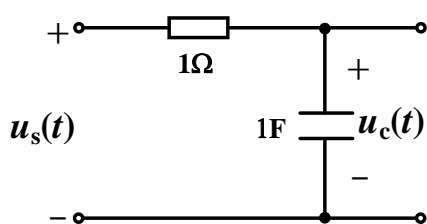
$$u_{czi}(t) = 15e^{-2t} - 6e^{-3t} \quad t \geq 0$$

61、如图所示的电路， $u_s(t)$  为激励电压， $u_c(t)$  为输出电压

(1) 求电路的频响特性  $H(j\omega)$ ;

(2) 该电路属何种滤波器，其截止角频率为多少？

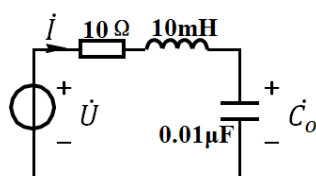
(3) 设  $u_s(t) = 2 + 3\cos(500t + \frac{\pi}{4})$ ，求电路输出电压  $u_c(t)$ 。



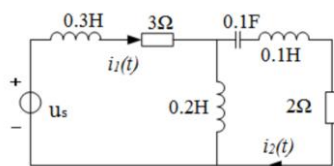
$$(1) H(s) = \frac{u_c(s)}{u_s(s)} = \frac{1/s}{1 + 1/s} = \frac{1}{s+1} \Rightarrow H(j\omega) = \frac{1}{j\omega+1}$$

(2) 低通， $\omega_c = 1 \text{ rad/s}$

$$(3) H(0) = 1, H(500) = \frac{1}{j500+1} \Rightarrow u_c(t) \approx 2V$$



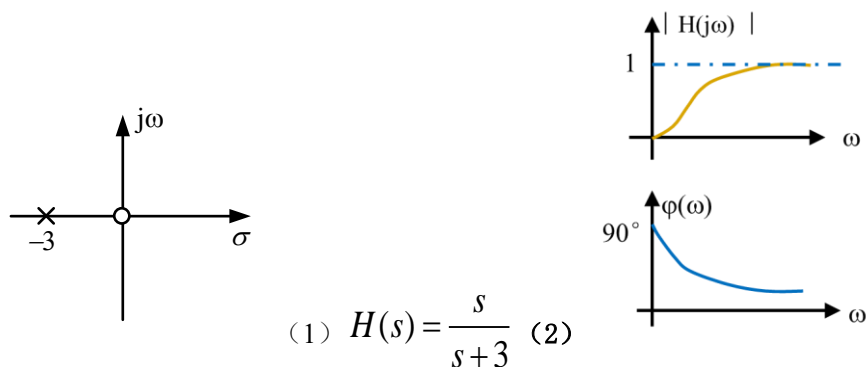
62、如图所示电路中，已知电源电压的有效值  $U=1\text{mV}$ ，则电路谐振时电容两端的电压  $\dot{C}_o$  的有效值为：100mV。



63、如图所示的电路中，已知  $u_s(t) = 16\sqrt{2}\cos(10t)V$ ，电流  $i_1(t)$  为：【 $i_1(t) = 4\cos(10t - \frac{\pi}{4})$ 】

64、连续系统的系统函数  $H(s)$  的零极点如图所示，已知  $H(\infty)=1$ ，(1) 求  $H(s)$  表达式；(2) 粗略画出系统的幅频特性和相频特性曲线（标出关键值）；(3) 系统属于何种滤波器？其半功率点对应的角频率（即截止频率）为多少？(4) 现有

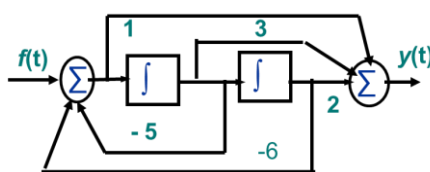
$f(t) = 10 + 10\cos(1000t + \frac{\pi}{4})$  通过该系统，求输出信号  $y(t)$ 。



(3) 属于高通滤波器，其截止角频率为 3rad/s

(4)  $y(t) = 10\cos(1000t + \frac{\pi}{4})$

65、已知系统框图如图所示，



(1) 写出系统的微分方程；(2) 求系统函数  $H(s)$ ；(3) 当激励  $f(t) = \varepsilon(t) + e^{-t}\varepsilon(t)$  时，系统的全响应为  $y(t) = 4e^{-2t} - \frac{4}{3}e^{-3t} + \frac{1}{3}, t > 0$ ，求系统零状态响应  $y_{zs}(t)$ 、零输入响应  $y_{zi}(t)$ 。

(1)  $y''(t) + 5y'(t) + 6y(t) = f''(t) + 3f'(t) + 2f(t)$

(2)  $H(s) = \frac{s^2 + 3s + 2}{s^2 + 5s + 6}$

(3) 
$$Y_{zs}(s) = \frac{s^2 + 3s + 2}{s^2 + 5s + 6} \left( \frac{1}{s} + \frac{1}{s+1} \right) = \frac{(s+2)(s+1)}{(s+2)(s+3)} \frac{(2s+1)}{s(s+1)} = \frac{2s+1}{s(s+3)}$$

$$= \frac{1}{3} \frac{1}{s} + \frac{5}{3} \frac{1}{s+3}$$

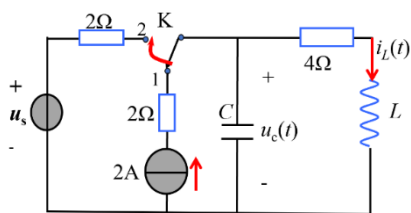
$y_{zs}(t) = \left( \frac{1}{3} + \frac{5}{3}e^{-3t} \right) \varepsilon(t)$

$y_{zi}(t) = 4e^{-2t} - 3e^{-3t}, t \geq 0$

66、如图所示电路中，已知  $C = 0.5 \text{ F}$ ， $L = 1 \text{ H}$ ，在  $t=0$  时刻，开关从 1 切换到 2。开关

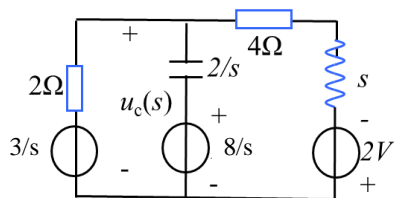
切换前，电路已达到稳定。已知  $u_s(t) = 3\varepsilon(t)$ ，(1) 求开关切换时，电容两端的电压初始值  $u_c(0_-)$ 、电感电流初始值  $i_L(0_-)$ ；(2) 画出开关切换后电路的 s 域模型；

(3) 求电容两端电压的零状态响应  $u_{c_{zs}}(t)$ ，并指出稳态响应  $u_{c_{ss}}(t)$ 。



$$(1) \quad \begin{aligned} u_c(0_-) &= 4 \times 2 = 8V \\ i_L(0_-) &= 2A \end{aligned}$$

(2)



$$U_C(s) = \frac{U_s(s)}{2 + \left( \frac{2}{s} \parallel (4 + s) \right)} \left( \frac{2}{s} \parallel (4 + s) \right)$$

$$(3) \quad U_C(s) = \frac{s+4}{s^2+5s+6} \cdot \frac{3}{s}$$

$$= \frac{-3}{s+2} + \frac{1}{s+3} + \frac{2}{s}$$

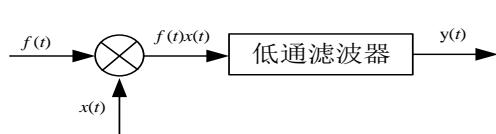
$$u_{Czs}(t) = (-3e^{-2t} + e^{-3t} + 2)\varepsilon(t), \text{ 稳态响应 } u_{css}(t) = 2\varepsilon(t)$$

67、如图(a)所示系统，若输入信号  $f(t) = \frac{\sin t}{\pi t} \cos 1000t$ ,  $x(t) = \cos 1000t$ ，低通滤波器的传

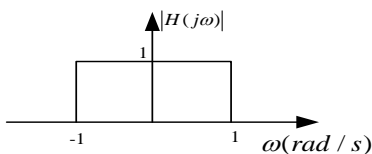
输函数  $H(j\omega)$  如图(b)所示，相频特性  $\varphi(\omega) = 0$ ，

(1) 写出并画出乘法器输出信号  $s(t) = f(t)x(t)$  的谱密度函数  $S(j\omega)$ ；

(2) 写出并画出低通滤波器输出信号  $y(t)$  的谱密度函数  $Y(j\omega)$ ；



(a)



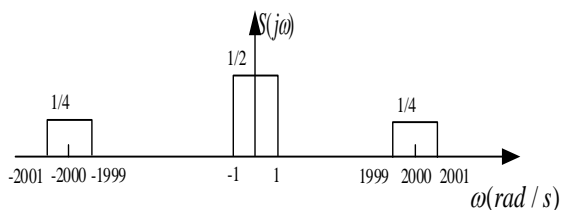
(b)

$$s(t) = f(t)x(t) = \frac{\sin t}{\pi t} \cos^2 1000t = \frac{1}{2\pi} Sa(t)(1 + \cos 2000t)$$

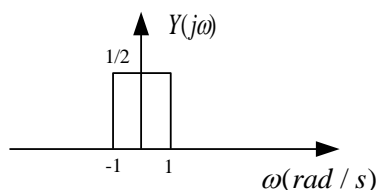
$$= \frac{1}{2\pi} Sa(t) + \frac{1}{2\pi} Sa(t) \cos 2000t$$

$$S(j\omega) = \frac{1}{2} G_2(\omega) + \frac{1}{4} G_2(\omega + 2000) + \frac{1}{4} G_2(\omega - 2000)$$

(1)



$$(2) Y(j\omega) = S(j\omega)H(j\omega) = \frac{1}{2}G_2(\omega)$$



68、已知系统  $y''(t) + 5y'(t) + 6y(t) = 2f(t)$ ，若初始状态为  $y(0_-) = 1$ ,  $y'(0_-) = 2$ ，激励为  $f(t) = \varepsilon(t)$ 。(1) 求零输入响应、零状态响应和全响应；(2) 指出自由响应和强迫响应、暂态响应和稳态响应分量。

解：(1) 零输入响应：  $y_{zi}(t) = Ae^{-2t} + Be^{-3t}$

$$\text{由 } \begin{cases} y_{zi}(0) = A + B = y(0_-) = 1 \\ y_{zi}'(0) = -2A - 3B = y'(0_-) = 2 \end{cases} \text{ 得到: } A = 5, B = -4$$

$$y_{zi}(t) = 5e^{-2t} - 4e^{-3t}, t \geq 0$$

零状态响应：  $Y_{zs}(s) = H(s)F(s)$

$$H(s) = \frac{2}{s^2 + 5s + 6}, F(s) = \frac{1}{s}, Y_{zs}(s) = \frac{2}{s^2 + 5s + 6} \frac{1}{s} = \frac{-1}{s+2} + \frac{2/3}{s+3} + \frac{1/3}{s}$$

$$y_{zs}(t) = -e^{-2t} + \frac{2}{3}e^{-3t} + \frac{1}{3}, t \geq 0$$

$$\text{全响应: } y(t) = y_{zi}(t) + y_{zs}(t) = 4e^{-2t} - \frac{10}{3}e^{-3t} + \frac{1}{3}, t \geq 0$$

$$(2) \text{ 自由响应: } y_h(t) = 4e^{-2t} - \frac{10}{3}e^{-3t}, t \geq 0$$

$$\text{强迫响应: } y_p(t) = \frac{1}{3}, t > 0$$

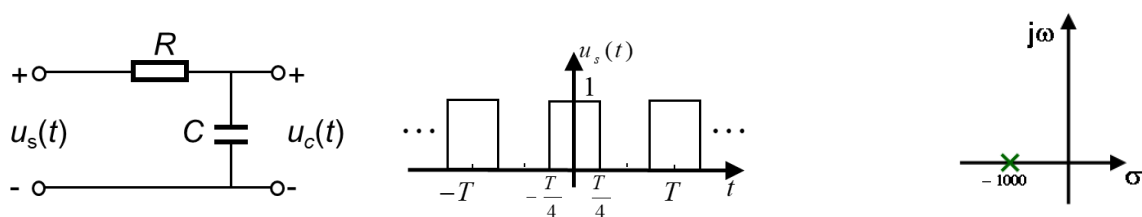
$$\text{暂态响应: } y_{tr}(t) = 4e^{-2t} - \frac{10}{3}e^{-3t}, t \geq 0$$

$$\text{稳态响应: } y_{ss}(t) = \frac{1}{3}, t > 0$$

69、图示 RC 电路，其中  $R = 1k\Omega$ ， $C = 1\mu F$ ， $u_s(t)$  为输入电压， $u_c(t)$  为输出电压。

(1) 计算电路的时间常数  $\tau$ ；(2) 求系统函数  $H(s)$ ，画出零极点图；(3) 写出系统的频率响应特性  $H(j\omega)$ ，绘制其幅频和相频特性曲线；(4) 指出该电路属何种滤波器，并计算其截止频率  $\omega_c$ ；(5) 若输入  $u_s(t)$  为下图所示的方波信号，周期  $T = 0.5ms$ ，

大致画出  $u_c(t)$  的波形。



解：（1）时间常数  $\tau=RC=1\text{ (ms)}$ ;

$$(2) H(s) = \frac{U_{cs}(s)}{U_s(s)} = \frac{\frac{1}{sC}}{R + \frac{1}{sC}} = \frac{\frac{1}{RC}}{s + \frac{1}{RC}} = \frac{1000}{s + 1000}, \text{ 零极点图如图。}$$

$$(3) H(j\omega) = H(s)|_{s=j\omega} = \frac{1000}{j\omega + 1000}, \text{ 幅频和相频特性曲线如下。}$$

（4）低通滤波器， $\omega_c = 1000$

（5） $u_c(t)$  的大致波形如图。

